

บทที่ 2 ทฤษฎีและงานวิจัยที่เกี่ยวข้อง

2.1 วัสดุหน้าสัมผัสไฟฟ้า

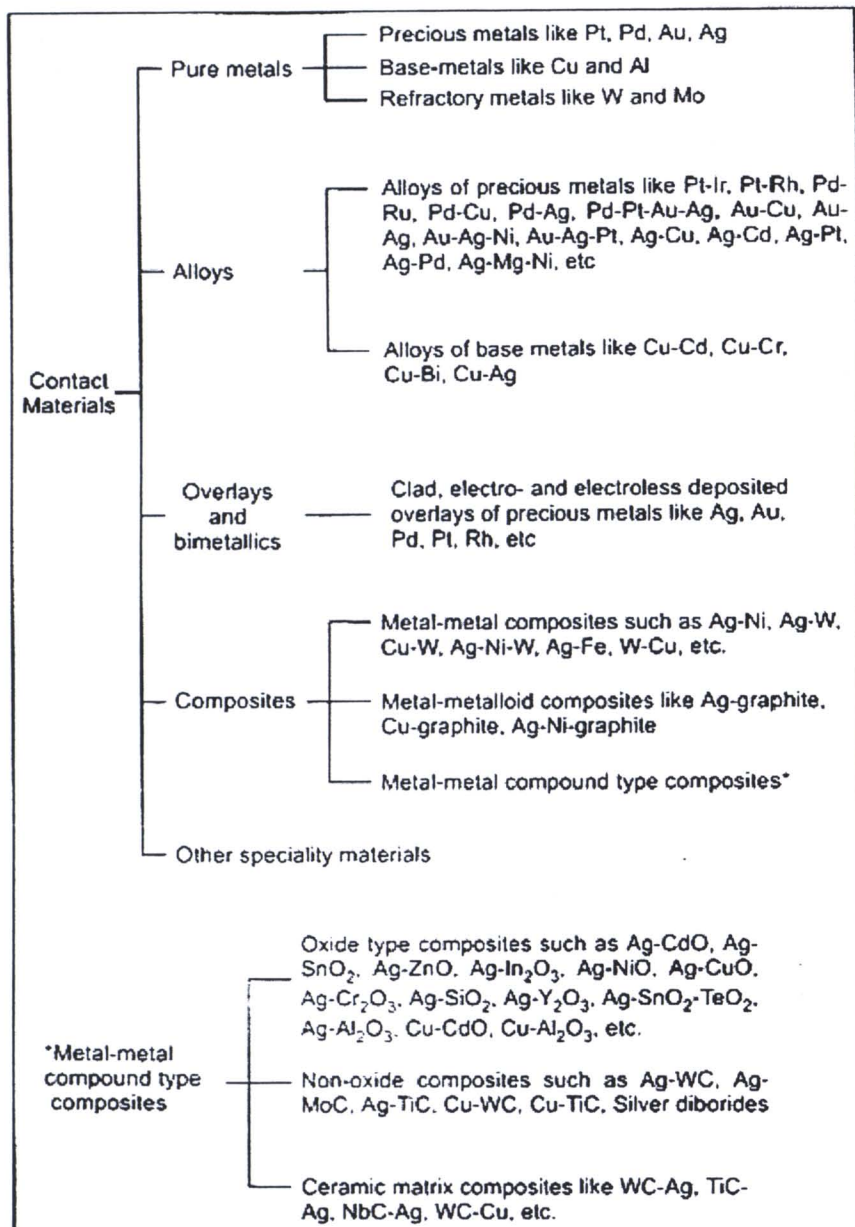
วัสดุหน้าสัมผัสไฟฟ้า (Electrical Contact Materials) เป็นส่วนหนึ่งของอุปกรณ์ไฟฟ้าหลายประเภท เช่น สวิตซ์ไฟฟ้า เบรกเกอร์ รีเลย์ เป็นต้น วัสดุหน้าสัมผัสไฟฟ้านั้นมีหน้าที่หลักในการเชื่อมต่อ (เปิด/ปิด) กระแสไฟฟ้ากับส่วนต่างๆ ของอุปกรณ์ หน้าสัมผัสไฟฟ้าในอุปกรณ์ต้องนำไฟฟ้าได้สูง เกิดความร้อนต่ำขณะมีการส่งผ่านของกระแสไฟฟ้า ความด้านทานต่อการสึกกร่อนทาง สภาพแวดล้อมและความแข็งสูง ประเภทของหน้าสัมผัสไฟฟ้าสามารถแบ่งได้เป็น 4 ประเภทหลัก [6] ดังนี้

2.1.1 การแบ่งประเภทหน้าสัมผัสตามลักษณะการใช้งาน

ลักษณะการใช้งาน (Operational Function) ของวัสดุหน้าสัมผัสไฟฟ้าสามารถแบ่งได้ 3 กลุ่ม คือ (ก) กลุ่ม Stationary Contact เป็นวัสดุหน้าสัมผัสไฟฟ้าที่ไม่มีการเคลื่อนที่ระหว่างการทำงาน มีการเชื่อมต่ออย่างถาวร เช่น Bus Joint, Soldered Joint เป็นต้น โดยที่นิยมนำมาทำ Stationary Contact ได้แก่ ทองแดง และอลูминيوم (ข) กลุ่ม Sliding Contact วัสดุหน้าสัมผัสกลุ่มนี้สามารถเคลื่อนที่ได้ เช่น หน้าสัมผัสของ Rotary Switch, Motor Commutators วัสดุที่นิยมนำมาใช้ใน Sliding Contact ได้แก่ กราไฟต์หรือคาร์บอน เนื่องจากมีผิวลื่น และค่าสัมประสิทธิ์แรงเสียดทานต่ำ และ (ค) กลุ่ม Make and Break Contacts วัสดุหน้าสัมผัสในกลุ่มนี้จะมีลักษณะการใช้งานแบบเปิด/ปิด สลับไปสลับมาระหว่างการใช้งาน

2.1.2 การแบ่งประเภทหน้าสัมผัสตามส่วนผสมทางเคมีของโลหะ

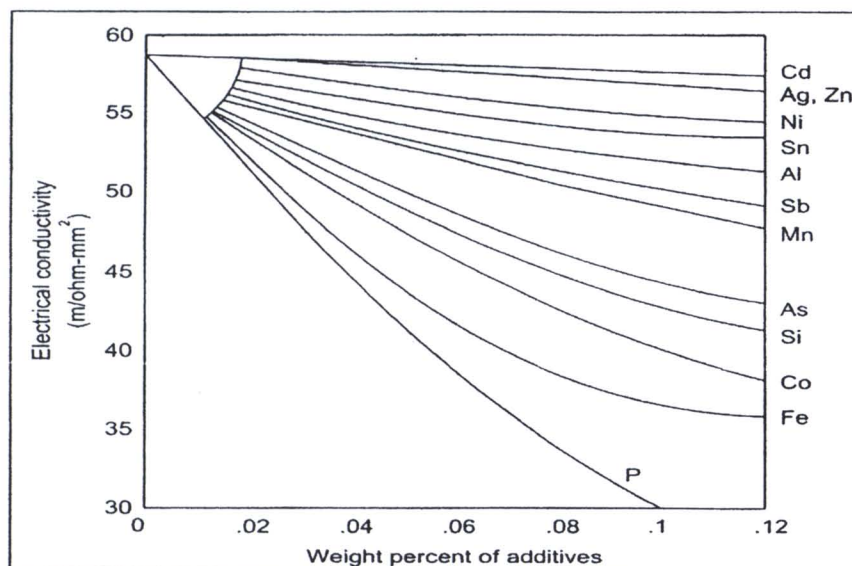
การแบ่งประเภทหน้าสัมผัสตามส่วนผสมทางเคมีของโลหะ (Composition of Material) สำหรับทำหน้าสัมผัสไฟฟ้า แสดงดังแผนภูมิรูปที่ 2.1



รูปที่ 2.1 แผนภูมิจำแนกประเภทหน้าสัมผัสไฟฟ้าจากส่วนผสมทางเคมี [6]

(ก)-กลุ่มโลหะมีค่าบริสุทธิ์และโลหะมีค่าผสม (Precious Metal and Alloy of Precious Metal) โลหะมีค่าส่วนใหญ่ถูกนำไปใช้ในงาน ไม่ได้อิเล็กทรอนิกส์ งานโทรคมนาคม เนื่องจากโลหะกลุ่มนี้ มีความต้านทานการผุกร่อนจากเคมีสูง และมีความต้านทานการสึกกร่อนจากการอาร์ค (Arc Erosion Resistance) โลหะแพลทินัม และแพลตเตเดียม เป็นวัสดุที่นิยมนำมาใช้ในงานประเกทนี้ เพราะมีจุดหลอมเหลวที่สูง ต้านทานการ蝕ของและทนต่อการอาร์คได้ดี

(ข) กลุ่มโลหะหลักและโลหะหลักผสม (Base Metal and Alloy of Base Metal) โลหะที่นิยมใช้ในกลุ่มนี้คือ ทองแดง และอะลูминเนียม ทองแดงบริสุทธิ์มีความแข็งต่ำ เหนียวขึ้นรูปง่าย นำความร้อน และไฟฟ้าได้เป็นอันดับสองรองจากเงิน ในบรรยายกาศปกติทองแดงมีความต้านทานการผุกร่อนได้ดี เมื่อจากเกิดฟิล์มคิวปรัสโซกไซด์ (Cuprous Oxide film) ทำให้ไม่เกิดปฏิกิริยาออกซิเดชันกับเนื้อโลหะ แต่เมื่ออุณหภูมิสูงฟิล์มนี้จะลายตัว การเพิ่มสมบัติทางกลให้แก่ทองแดงนั้นสามารถทำได้โดยการเติมธาตุผสมลงไป ช่วยเพิ่มความแข็งให้กับทองแดง แต่ทำให้ค่าการนำไฟฟ้าของทองแดงลดลงดังแสดงในรูปที่ 2.2



รูปที่ 2.2 ปริมาณธาตุผสมที่เติมต่อค่าการนำไฟฟ้าของทองแดง [6]

สำหรับโลหะอะลูминเนียมบริสุทธิ์นั้นมีความสามารถในการขึ้นรูปได้ง่าย น้ำหนักเบา ราคาถูก มีค่าการนำไฟฟ้าเป็นอันดับสี่รองจากเงิน ทองแดง และทอง อะลูминเนียมเกรดที่ใช้ในการนำไฟฟ้าเป็นเกรด EC ซึ่งมีค่าการนำไฟฟ้าที่ 61 %IACS แต่ข้อเสียที่พบคือการต้านทานการเกิดออกซิเดชันไม่ดีนัก ดังนั้น การใช้งานจึงนำไปทำเป็นแผ่นรีดติดกับทองแดงหรือเงิน

(ค) กลุ่มโลหะทนไฟ (Refractory Metal) กลุ่มนี้นิยมใช้ทั้งสเตนเลสและโนลิตินัม ซึ่งทั้งสเตนเลสเป็นธาตุที่มีจุดหลอมเหลวสูง ความแข็งสูง มีความต้านทานการสึกกร่อนที่ดี แต่มีน้ำหนักมากและทนการผุกร่อนได้ไม่ดี ใช้สำหรับผลิตวัสดุหน้าสัมผัสของเซอร์กิตเบรคเกอร์ความต่างศักย์สูง (High Voltage Circuit Breaker) สำหรับโนลิตินัมนิยมใช้ผสมกับทั้งสเตนเลสเพื่อช่วยทำให้เกรนมีขนาดเล็กลง หรือบางครั้งนำไปใช้แทนทั้งสเตนเลสเมื่อวัสดุหน้าสัมผัสต้องการน้ำหนักเบา ราคาถูก ใช้สำหรับผลิตสวิตซ์เกียร์ความต่างศักย์สูง (High Voltage Switchgear)

(ก) กลุ่มคอมโพสิต (Composite Contacts) เป็นการผสมของโลหะที่มีจุดหลอมเหลวสูง ความแข็งสูง ทนการสึกหรอที่ดี แต่มีการนำไฟฟ้าไม่ดี เช่น ทั้งสตeten โนลิดินัม ชิลิกอนคาร์ไบด์ เป็นต้น กับโลหะที่นำไฟฟ้าได้ดี ได้แก่ เงิน ทองแดง เป็นต้น จากงานวิจัยของ Zhan และ Zhang [15] พบว่าการผสมผงชิลิกอนคาร์ไบด์อย่างละ 10 โดยปริมาตร กับทองแดง มีค่าการนำไฟฟ้า 82.6 %IACS หากทำการเคลือบด้วยชิลิกอนคาร์ไบด์ด้วยนิกเกิลก่อนผสมกับทองแดง เพื่อเพิ่มการขึ้นรูปและการทึบซึ้ง ขึ้น และลดปริมาณรูพรุนลง แต่ค่าการนำไฟฟ้ามีค่าลดลงเหลือ 80.2 %IACS นอกจากนี้ Akhtar และคณะ [10] พบว่าเมื่อทำการเติมไทเทเนียมคาร์ไบด์ ในคอมโพสิตที่มีทองแดงเป็นส่วนผสมหลักที่ไม่ใช้ตัวประสาน และใช้ตัวประสาน โครงสร้างชุลภาคของผงไทเทเนียมคาร์ไบด์ มีการกระจายตัวอย่างสม่ำเสมอ ไม่เกิดรอยต่อระหว่างเฟลสสองเฟลสค่าความแข็งและค่าการนำไฟฟ้าของคอมโพสิตนี้ มีค่าขึ้นกับปริมาณของไทเทเนียมคาร์ไบด์ที่เติม กล่าวคือเมื่อปริมาณของไทเทเนียมคาร์ไบด์มากขึ้นค่าความแข็งที่ได้มีค่าเพิ่มขึ้น ในขณะที่ค่าการนำไฟฟ้ามีค่าลดลง

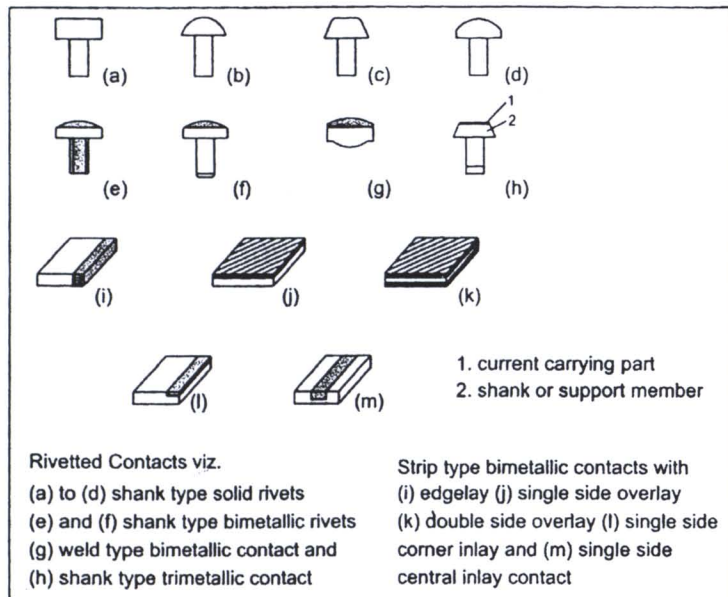
2.1.3 การแบ่งประเภทหน้าสัมผัสตามกำลังไฟฟ้า

สามารถแบ่งได้ 4 ประเภท ตามปริมาณกำลังไฟฟ้าที่วัสดุหน้าสัมผัสไฟฟารับได้ ได้แก่ (ก) กลุ่mwัสดุที่รับทำงานเบาๆ (Very Light Duty Contact) เป็นวัสดุที่อยู่ในงานที่เกี่ยวกับแม่เหล็กไฟฟ้า (Electromagnetic) และงานอิเล็กทรอนิกส์ที่ใช้กระแสต่ำ (ข) กลุ่mwัสดุที่รับทำงานเบา (Light Duty Contact) เป็นวัสดุที่ใช้กระแสในการทำงานไม่เกิน 10 แอม培ร์ เช่น รีเลย์ (Relay) (ค) กลุ่mwัสดุที่รับทำงานปานกลาง (Medium Duty Contact) เป็นวัสดุที่ใช้กระแสในการทำงานช่วง 10 ถึง 300 แอม培ร์ เช่น สวิตช์แบบหมุน (Rotary Switch) สวิตช์แบบเดื่อน (Sliding Switch) และ (ง) กลุ่mwัสดุที่รับทำงานหนัก (Heavy Duty Contact) เป็นวัสดุที่ใช้กระแสในการทำงาน 300 แอม培ร์ขึ้นไป เช่น เบรกเกอร์แบบน้ำมัน (Oil Circuit Breaker)

2.1.4 การแบ่งประเภทหน้าสัมผัสตามลักษณะรูปร่าง

ลักษณะรูปร่าง (Shape) ของวัสดุหน้าสัมผัสไฟฟ้าที่ผลิตส่วนใหญ่นั้นอาจจะอยู่ในรูปแบบของหน้าสัมผัสของแข็งรูปทรงก้อนตัน (Solid Contacts) หรือในลักษณะที่เป็นคอมโพสิต (Composite Contacts) ซึ่งหน้าสัมผัสของแข็งรูปทรงก้อนตัน นั้นจะประกอบด้วยวัสดุเพียงชนิดเดียว ขณะที่หน้าสัมผัสที่เป็นคอมโพสิตนั้นจะมีส่วนประกอบของวัสดุตั้งแต่ 2 ชนิดขึ้นไป ลักษณะรูปร่างของวัสดุหน้าสัมผัสแสดงในรูปที่ 2.3 โดยปกติส่วนที่ทำหน้าที่นำกระแส (Current Carrying Part) จะเป็นโลหะที่นำไฟฟ้าได้สูง หรือเป็นโลหะผสม ขณะที่ส่วนปลาย (Shank or Support Member) จะเป็น

โลหะที่ทำมาจากการดอง ทองเหลือง หรือ เหล็กกล้า (Steel) รูปร่างของวัสดุหน้าสัมผัสไฟฟ้าส่วนใหญ่นั้น มีลักษณะเป็นแผ่นกลม ทรงโดม สีเหลี่ยมจัตุรัสหรือสีเหลี่ยมผืนผ้า



รูปที่ 2.3 ลักษณะรูปร่างของวัสดุหน้าสัมผัสไฟฟ้า [6]

2.2 สมบัติทั่วไปของโลหะทองแดงและทั้งส坚韧การ์ที่นำไปใช้

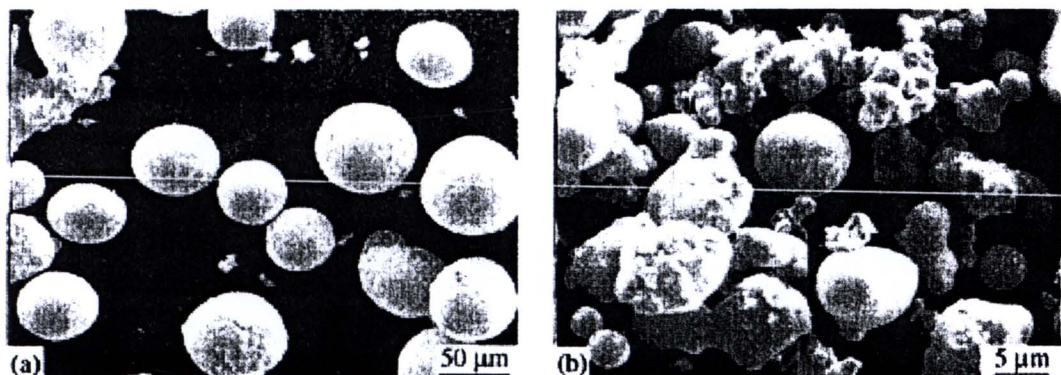
2.2.1 ทองแดง

ทองแดง (Copper: Cu) เป็นโลหะที่มีสีแดงอมส้ม มีความawareness โครงสร้างผลึกแบบ FCC มีจุดหลอมเหลวที่ 1,084 องศาเซลเซียส ค่าการนำไฟฟ้าอยู่ที่ 5.9×10^7 ซีเมนต์ (100 %IACS) ค่าความแข็งที่ 369 วิกเกอร์ และค่าความหนาแน่นที่ 8.96 กรัมต่อลูกบาศก์เซนติเมตร นอกจากนี้ยังมีความต้านทานการกัดกร่อนได้ดี มีความเหนียวสูง ไม่เป็นสนิม ไม่ทำปฏิกิริยา กับเหล็ก ผสมกับธาตุอื่นได้ดี

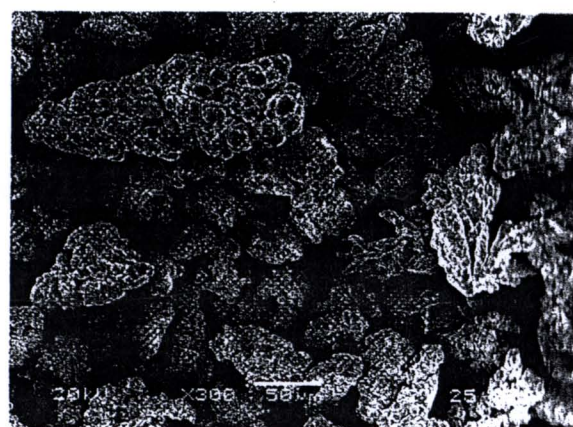
เกรดของทองแดงบริสุทธิ์มีอยู่หลายเกรด เช่น อยู่กับความบริสุทธิ์ของทองแดงและปริมาณของออกซิเจนที่เป็นส่วนประกอบ เกรดของทองแดงในทางการค้านั้นจะเขียนในรูปของ UNS เช่น ทองแดงเกรด C10100 (Oxygen Free Electronic: OFE) เป็นเกรดที่มีทองแดงบริสุทธิ์อย่าง 99.99% มีออกซิเจนอยู่ร้อยละ 0.0005 ทองแดงเกรด C11000 (Electrolytic Tough Pitch: ETP) เป็นเกรดที่นำไปใช้เป็นมาตรฐานการนำไฟฟ้า โดยมีทองแดงบริสุทธิ์อย่าง 99.9 และออกซิเจนอยู่ร้อยละ 0.02%

0.04 ทองแดงบริสุทธิ์เกรด C11000 มีค่าการนำไฟฟ้าอยู่ที่ 5.9×10^7 ซีเมนต์ กำหนดให้มีค่าเป็นร้อยละ 100 ของค่า IACS (100 %IACS : International Annealed Copper Standard)

การผลิตพองโลหะทองแดงบริสุทธิ์ร้อยละ 99 ในเชิงพาณิชย์มีอยู่ 4 วิธี [16] คือ (ก) Oxide Reduction (ข) Hydrometallurgy (ค) Atomization (ง) Electrolysis เป็นการผลิตด้วยการเปลี่ยนรูปโลหะที่ถูกหลอมเหลวให้เป็นผงโดยการฉีดก๊าซหรือน้ำด้วยความดันสูงไปยังโลหะที่ถูกหลอมเหลวให้มีลักษณะเป็นลักษณะเดียวกันที่เล็กมาก ผงที่ได้มีลักษณะตั้งรูปที่ 2.4 และ (ง) Electrolysis เป็นการผลิตโดยการนำสารที่ฟอร์มตัวที่ขึ้นต่ำๆ แค่โตกที่มีลักษณะพรุน ไปล้าง ทำให้แห้ง แล้วบดละเอียด ซึ่งสารที่ฟอร์มตัวที่ขึ้นนี้เกิดจากโลหะเริ่มต้นเกิดการละลายที่ขึ้นแล้วในอุณหภูมิที่ไปสะสมขึ้นและโตก ภายใต้ความต่างศักย์จากภายนอกจึงทำให้เกิดการฟอร์มตัวขึ้น ลักษณะผงที่ผลิตด้วยวิธีนี้แสดง ดังรูปที่ 2.5



รูปที่ 2.4 ลักษณะรูปร่างผงที่ได้จากการ Atomization ด้วยก๊าซและน้ำตามลำดับ [16]

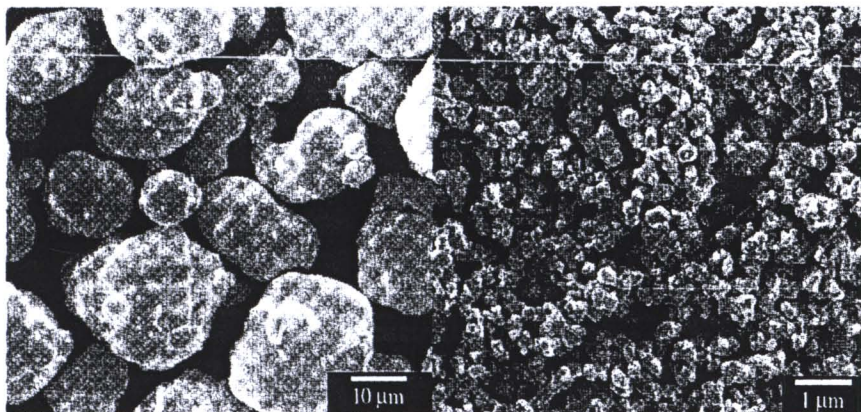


รูปที่ 2.5 ลักษณะรูปร่างผงทองแดงที่ได้จากการ Electrolysis [16]

2.2.2 ทั้งสแตนคาร์ไบด์

ทั้งสแตนคาร์ไบด์ (Tungsten Carbide: WC) เป็นเคมีอนินทรีย์ที่ประกอบด้วยอะตอมของทั้งสแตนและอะตอมของคาร์บอน มีลักษณะเป็นผงสีเทา มีโครงสร้างผลึกแบบ Hexagonal มีจุดหลอมเหลวที่สูงอยู่ที่ 2,870 องศาเซลเซียส ค่าการนำไฟฟ้าอยู่ที่ 5.23×10^6 ซีเมนต์ (8.86% IACS) ค่าความแข็งที่ 2,200 วิกเกอร์ และค่าความหนาแน่น 15.6 กรัมต่อลูกบาศก์เซนติเมตร [17] นิยมนำไปใช้ในงานสำหรับตัด เพราะมีความแข็งและทนความร้อนได้สูง

Conventional Technique เป็นกระบวนการที่ใช้ในการผลิตพลาสติกหั่นทั้งสแตนคาร์ไบด์ เริ่มจากใช้ผงทั้งสแตนบริสุทธิ์กับผงคาร์บอนบริสุทธิ์ที่ผสมเรียบร้อย บรรจุในโถกราไฟต์แล้วนำเข้าเตาอบอุณหภูมิสูงอยู่ระหว่าง 1,400 ถึง 1,500 องศาเซลเซียส คุณบรรยายกาศด้วยก๊าซไฮโดรเจน ผงที่ได้หลังอบมีลักษณะเป็น Agglomerated ดังรูปที่ 2.6 จากนั้นนำผงที่ได้ไปทำให้ขนาดเล็กและบริสุทธิ์มากขึ้น



รูปที่ 2.6 ลักษณะรูปร่างผงทั้งสแตนคาร์ไบด์ [16]

กระบวนการคาร์บูไรเซชัน (Carburization) เป็นอีกกระบวนการหนึ่งที่ใช้ในการผลิตทั้งสแตนคาร์ไบด์ โดยเริ่มจากการนำทั้งสแตนไตรออกไซด์กับคาร์บอนทำปฏิกิริยา กันที่อุณหภูมิประมาณ 2,000 องศาเซลเซียส ซึ่งจะได้ W, W₂C, WC และ C ผสมกันอยู่ จากนั้นนำไปทำ Conventional Technique และคาร์บูไรเซชันอีกรอบ ขนาดของผงจะถูกทำให้มีขนาดเล็กลง โดยการควบคุมเวลาในการบด ปริมาณของคาร์บอน การเติมสารยับยั้ง และอุณหภูมิในการอบผนัง ซึ่งผงที่ได้จะมีขนาดอยู่ในช่วง 0.1-0.8 ไมโครเมตร

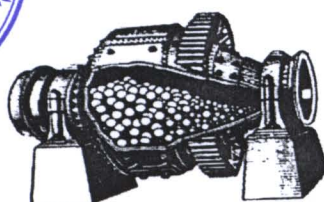
จากสมบัติของหั้งสเตนкар์ไบค์ที่มีความแข็งสูง และทนต่อการสึกกร่อนได้ดี จึงนิยมนำหั้งสเตนкар์ไบค์มาช่วยในการปรับปรุงสมบัติของชาตุอื่นในด้านนี้ โดยอาจทำให้ในรูปของการพ่นเคลือบผิว (Thermal Spray) การปรับปรุงให้วัสดุหน้าสัมผัสมีความด้านการสึกกร่อนทางกล หรือการสึกกร่อนจากการอาร์คสูงขึ้น

2.3 กรรมวิธีการขึ้นรูปโลหะผง

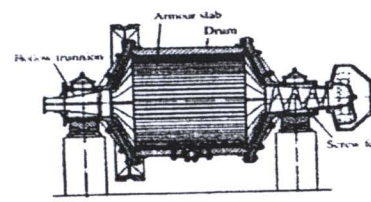
กรรมวิธีการขึ้นรูปโลหะผง (Metal Powder Fabrication) สามารถแบ่งออกเป็นขั้นตอนหลัก 3 ขั้นตอน ดังนี้

2.3.1 การผสมผง

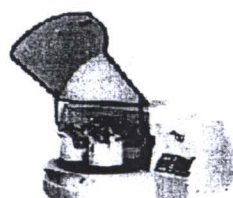
การผสมผง (Powder Mixing) เป็นการผสมผสานโลหะตั้งแต่ 2 ชนิดขึ้นไปกับตัวประสานเข้าด้วยกัน เพื่อให้ผลผลิตสุดท้ายมีการกระจายตัวของผงสม่ำเสมอ กัน ขั้นตอนของการผสมผงนั้นเริ่มจาก การทำให้ผงที่ต้องการผสมที่มีขนาดต่างกัน เพื่อให้เกิดการคลุกเคล้าและการเกาะตัวของผงที่ทำการผสมเข้ากัน ได้มากขึ้น การใช้ลูกบด (Ball Mill) ช่วยในการผสมผงนั้น เป็นอีกวิธีหนึ่งที่ช่วยให้การผสมผงมีความเข้ากันได้ดีขึ้น เครื่องมือที่ใช้ในการผสมผงคือ ลูกบดชนิดมีหลายประเภท ดังรูปที่ 2.7 ซึ่งการผสมคือวิธีนี้สามารถใช้ได้กับผงที่ขนาดใหญ่และเล็ก ทั้งการผสมแบบแห้งและแบบเปียก



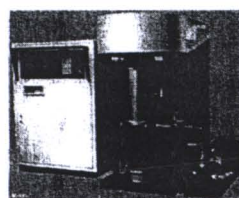
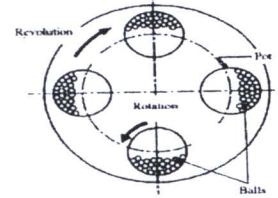
(ก)



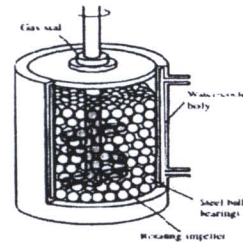
(ข)



(ค)



(ง)

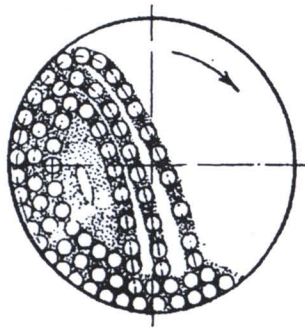


รูปที่ 2.7 ประเภทของการผสมผงด้วยลูกบด [16]

- (ก) Conical Ball Mill
- (ข) Cylindrical Ball Mill
- (ค) Planetary Ball Mill
- (ง) Attrition Ball Mill

ในการผสมผงโดยใช้ลูกบดช่วยน้ำ ขณะที่ตัวเครื่องบด (Mill Body) หมุนทำให้เกิดการชนกันของลูกบดกับผงที่อยู่ภายในเครื่องบด และเกิดการเสียดสีของลูกบดกับผนังของตัวเครื่องบด เกิดการเคลื่อนที่ของลูกบดในทิศทางเดียวกับตัวเครื่อง แล้วตกลงสู่พื้นของตัวเครื่อง มีลักษณะการเคลื่อนที่คล้ายเกลียว (Helix) ซึ่งจะเกิดการวนซ้ำไปเรื่อยๆ ขณะที่เครื่องบดยังหมุนอยู่ ดังรูปที่ 2.8 โดยทั่วไปความเร็วที่ใช้ในการบดด้วยวิธีนี้จะอยู่ที่ร้อยละ 65-80 ของความเร็วที่จุดวิกฤติ ซึ่งความเร็ววิกฤติหมายถึงความเร็วที่ทำให้ลูกบดและผงผสมเกิดการเคลื่อนไปพร้อมกับตัวเครื่องบด โดยไม่มีการตกลงสู่พื้นเครื่องของลูกบด ทำให้การผสมกันของผงเกิดการคลุกเคล้าได้น้อยหรือไม่เกิดเลย ความเร็ววิกฤติสามารถหาได้จากสมการที่ 2.1 [16]

สำนักงานคณะกรรมการวิจัยแห่งชาติ	
ที่คุณสมบูรณ์วิจัย	
วันที่.....	17 ต.ค. 2555
เลขที่เบียน.....	249437
เดินเรียกหนังสือ.....	



รูปที่ 2.8 ลักษณะการเคลื่อนที่ของลูกบดภายในเครื่องบด [16]

$$n = \frac{42.3}{\sqrt{D_m}} \quad \dots \dots \dots \quad 2.1$$

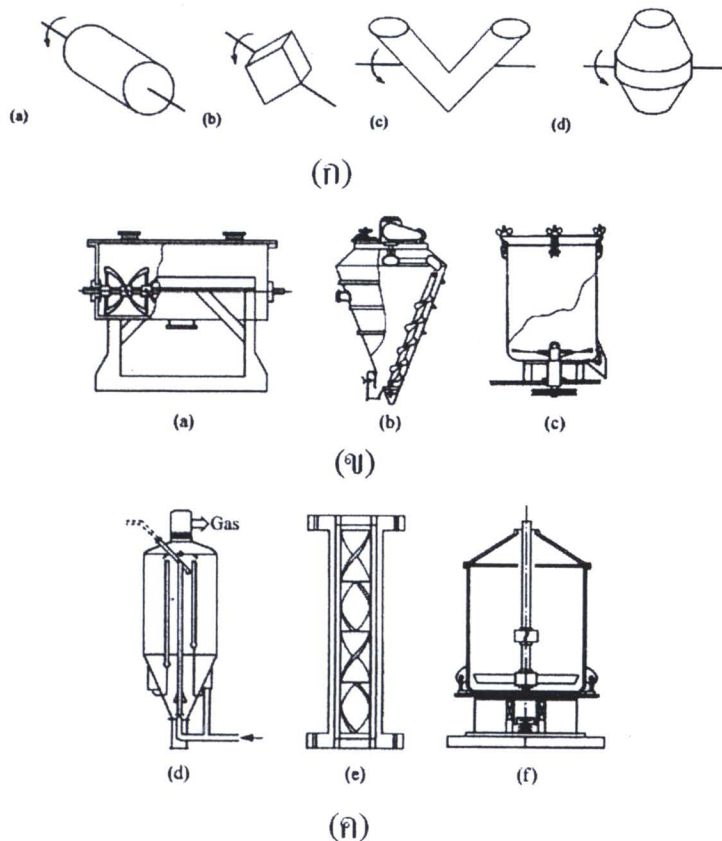
เมื่อ	n	คือ ความเร็ววิบัติ (รอบต่อนาที)
	D_m	คือ เส้นผ่านศูนย์กลางของเครื่องบด (เมตร)

ในการทดสอบนั้นนอกจากความเร็วของการผสมแล้วยังต้องคำนึงถึงปริมาตรของลูกบดที่ทำการเติม และขนาดของลูกบดอีกด้วย โดยทั่วไปแล้วจะทำการใส่ลูกบดไม่เกินกว่าร้อยละ 30-35 ของปริมาตร ที่ทำการผสม และขนาดของลูกบดที่เล็กที่สุดในการทดสอบสามารถคำนวณได้ดังสมการที่ 2.2 [16] ขณะที่ขนาดของลูกบดที่ใหญ่ที่สุดควร มีขนาดอยู่ในช่วง $D/18$ ถึง $D/24$

$$d_{b,min} = 10d_{b,max} \sqrt[3]{\frac{\sigma^2}{0.128E\rho_b D}} \quad \dots \dots \dots \quad 2.2$$

เมื่อ	$d_{b,min}$	คือ เส้นผ่านศูนย์กลางของลูกบดที่เล็กที่สุด (มิลลิเมตร)
	$d_{b,max}$	คือ เส้นผ่านศูนย์กลางของลูกบดที่ใหญ่ที่สุด (มิลลิเมตร)
	σ	ความเด่นของการกดอัด (megapascal)
	E	ค่ามอดูลัสของความยืดหยุ่น (megapascal)
	ρ_b	ค่าความหนาแน่นของวัสดุของลูกบด (กิโลกรัมต่อลูกบาศก์เมตร)
	D	เส้นผ่านศูนย์กลางภายในของเครื่องบด (เมตร)

สำหรับเครื่องมือที่ใช้ในการผสมผงนั้น แบ่งได้เป็น 3 ประเภท ดังรูปที่ 2.9 ได้แก่ (ก) Rotary Vessel Type เป็นการผสมผงโดยการหมุนของตัวบรรจุผงตามแนวของแกนซึ่งการผสมด้วยเครื่องประภานี้ จะทำได้ในปริมาณน้อย (ข) Stationary Vessel Type เป็นการผสมผงโดยอาศัยการเคลื่อนที่ของกลไก การหมุนของเกลียว การผสมด้วยเครื่องนี้สามารถทำการผสมผงได้ในปริมาณมาก แม้จะมีพื้นที่ในการผสมเพียงเล็กน้อย (ค) Complex type เป็นการพัฒนาเครื่องผสมผงแบบ Stationary Vessel type ให้เกิดการสั่น สามารถเติมแก๊สได้ เพื่อให้การเคลื่อนที่ของผงภายในตัวเครื่องเป็นอิสระจากแรงโน้มถ่วง ซึ่งเป็นการปรับปรุงให้สามารถผสมผงที่มีสมบัติทางกายภาพแตกต่างกันได้ ข้อจำกัดของเครื่องมือผสมผงของแต่ละประเภทนั้นแสดงตารางที่ 2.1



รูปที่ 2.9 เครื่องมือที่ใช้ในการผสมผง [16]

(ก) Rotary Vessel Type

(ข) Stationary Vessel Type

(ค) Complex type

ตารางที่ 2.1 วิธีกำจัดของคราบของมลพิษทางเคมีในต่อไปนี้ [16]

ประเภทของหินดูด		ขนาดของหินดูด		ความสามารถในการดูดซึม		การดูดซึมน้ำ	
การใช้งาน	การรักษา	ขนาด (mm)	จำนวนของหินดูด	ความสามารถในการรักษา	ความสามารถในการดูดซึมน้ำ	Dry	Wet
1. Rotary Vessel (a)	Horizontal axis of rotation	Horizontal Cylinder (a)	0	0	0	0	0
		Double Cones (d)	0	0	X	0	0
		V-type (c)	0	0	X	0	0
		Cubic (d)	0	0	X	0	0
		Continuous V-type	0	0	X	0	0
2. Stationary Vessel (b)	Horizontal axis of rotation	Ribbon agitator (a)	0	0	0	0	0
		Screw agitator	0	0	0	0	0
		Rod or pin agitator	0	0	0	0	0
		Double-axle paddles agitator	0	0	0	0	0
		Ribbon agitator (b)	0	0	0	0	0
	Vertical axis of rotation	Screw in cone agitator (b)	0	0	0	0	0
		High speed Screw agitator (c)	0	0	0	0	0
		Rotating disk agitator	0	0	X	0	0
		Muller Screw agitator	0	0	0	0	0

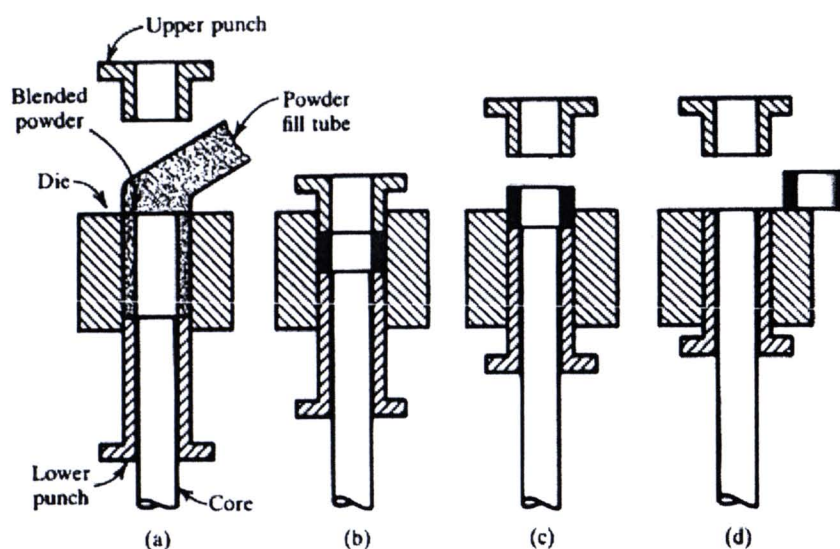
ตารางที่ 2.1 (ต่อ) ชุดลำดับของเครื่องมือพัฒนาผลิตภัณฑ์ระเบียบ [16]

จุดเด่นของนวัตกรรม	ตัวอย่างนวัตกรรม	ขนาดของ PARTICLE size (mm)	Flow ability angle of repose (deg)	Differences in ingredients properties	
				Dry	Wet
3. Complex (d)	Vibration	Vibratory toroidal mixer	0	0 0 0	0 X 0
		Vibratory mill	0	0 0 0	0 0 0
	Sieve	0	0 0 X	0 0 0	0 0 0
Gas flow	Moving other fluidized (d)	0	0 X	0 0 0	0 0 0
Gravity	Falling under gravity action (e)	0	0	0 0 0	0 0 0
Internals in rotating vessel	Horizontal cylinder	0	0 0 0	0 X 0	0 0 0
	V-type	0	0 0 0	0 X 0	0 0 0
	Double cones	0	0 0 X	0 0 0	0 0 0
Gas flow and mechanical agitation	0	0 0 X	0 0 0	0 0 0	0 0 0
Vibration and mechanical agitation (f)	0	0 0 X	0 0 0	0 X 0	0 0 0

O : Suitable , X : Unsuitable

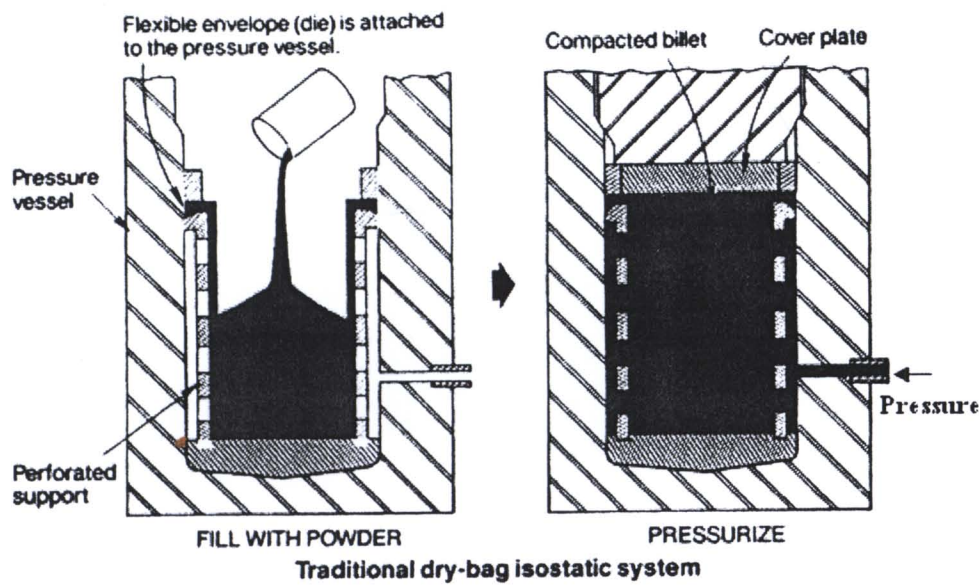
2.3.2 การอัดขึ้นรูป

การอัดขึ้นรูป (Compaction) เป็นการนำผงโลหะไปอัดผ่านแม่พิมพ์โลหะเพื่อได้ชิ้นงานที่มีขนาดตามความต้องการ ซึ่งการอัดขึ้นรูปสามารถแบ่งได้เป็น 2 ประเภท คือ (ก) การอัดขึ้นรูปแบบทิศทางเดียว (Uniaxial Pressing) ดังแสดงในรูปที่ 2.10 โดยเริ่มจากการบรรจุผงโลหะลงในแม่พิมพ์ จากนั้นเลื่อนพันช์ตัวบนเข้าสู่แม่พิมพ์ ทำการให้แรงกดอัดแก่พันช์ตัวบน โดยพันช์ตัวล่างอยู่กับที่ เมื่ออัดเสร็จพันช์ตัวบนถูกเลื่อนออกไป ใช้พันช์ตัวล่างเป็นคันชิ้นงานออกจากแม่พิมพ์



รูปที่ 2.10 การอัดขึ้นรูปแบบทิศทางเดียว [18]

(ข) การอัดขึ้นรูปแบบแรงอัดเท่ากันทุกทิศทาง (Isostatic Pressing) ซึ่งการอัดขึ้นประเภทนี้สามารถแบ่งได้อีกหลายประเภท เช่น Cold Isostatic Pressing (CIP), Hot Isostatic Pressing (HIP), Powder Forging เป็นต้น

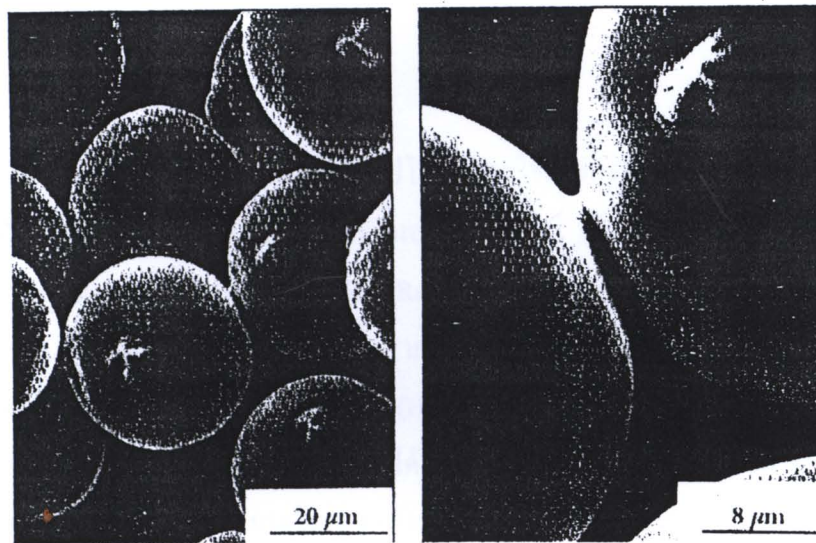


รูปที่ 2.11 การอัดขึ้นรูปแบบ Cold Isostatic Pressing [18]

หลังจากการอัดขึ้นรูปชิ้นงานที่มีรูปร่างดังต้องการ ชิ้นงานลักษณะนี้เรียกว่า Green Compact คือ ชิ้นงานที่มีความแข็งแรงของโครงสร้างจากการเข้ารูปกันได้เอง (Inter Lock) แต่ยังไม่สามารถใช้งานได้

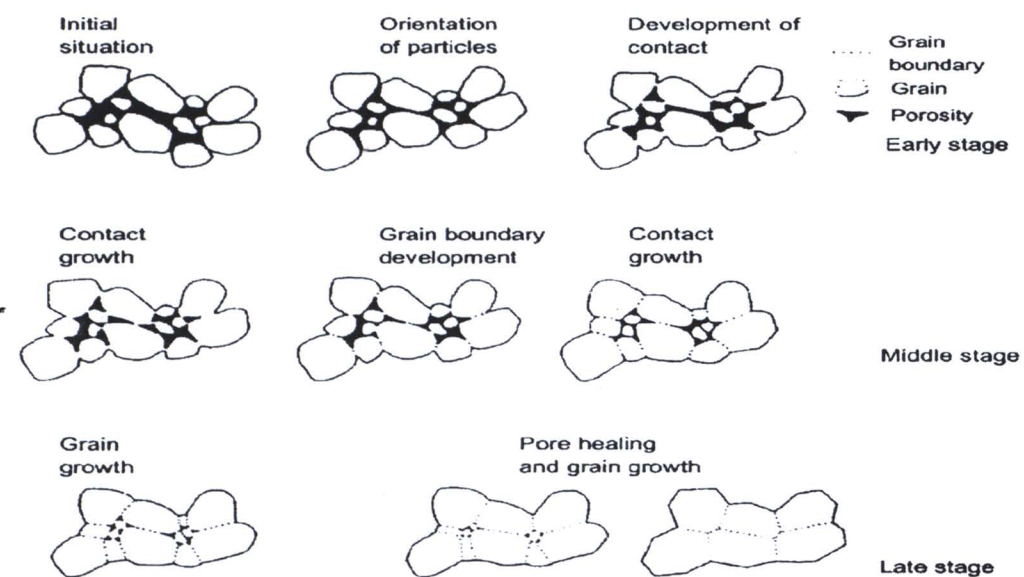
2.3.3 การอบผนึก

การอบผนึก (Sinter) เป็นการทำให้อุณหภูมิเพื่อมticกันที่อุณหภูมิสูง หรืออาจเกิดขึ้นที่อุณหภูมิต่ำกว่า จุดหลอมเหลวของวัสดุนั้นๆ [19] เมื่อพิจารณาโครงสร้างจุลภาค การเพิ่มขนาดของคอคอด (Neck Growth) ที่เชื่อมต่อ กันบริเวณจุดสัมผัสของอนุภาคสองอนุภาค ดังรูปที่ 2.12 การเปลี่ยนรูปคอคอดในสถานะของแข็ง (Solid State Neck) ระหว่างการอบผนึกอุณหภูมิทรงกลม ซึ่งการเพิ่มขนาดของคอคอดนี้ทำให้สมบัติการนำไฟฟ้า ความแข็ง ของชิ้นงานเพิ่มขึ้นหลังอบผนึก



รูปที่ 2.12 การเปลี่ยนรูปคอกดในสถานะของแข็งระหว่างการอบผนึกอนุภาคทรงกลม [19]

การอบผนึกจะเกิดขึ้นในระดับโครงสร้างจุลภาค เมื่ออบผนึกนานขึ้น โครงสร้างของรูพรุนจะสม่ำเสมอขึ้น การอบผนึกแบ่งเป็น 3 ขั้นตอน ดังรูปที่ 2.13 ขั้นตอนที่ 1 (Early Stage) เกิดการเชื่อมต่อ กันที่จุดสัมผัสระหว่างอนุภาค เมื่อเข้าสู่ขั้นตอนกลาง (Middle Stage) อัตราการอบผนึกจะลดลง รูปร่างของรูพรุนมีการเปลี่ยนแปลง มีการโตของเกรนและรูพรุนกลายเป็นทรงกลมและแยกกระจาย ออกไป ทำให้การกำจัดรูพรุนเริ่มยากขึ้น ความหนาแน่นที่ได้จะอยู่ประมาณ 70-92% ของความ หนาแน่นทางทฤษฎี ในขั้นตอนสุดท้าย ของการอบผนึก (Late Stage) รูพรุนทรงกลมจะเล็กลงเหลือตัว ชั้ลงอันเนื่องมาจากการแพร่ของซ่องว่างไปยังขอบเกรน จะขัดขวางการแน่นตัวขึ้นสุดท้าย

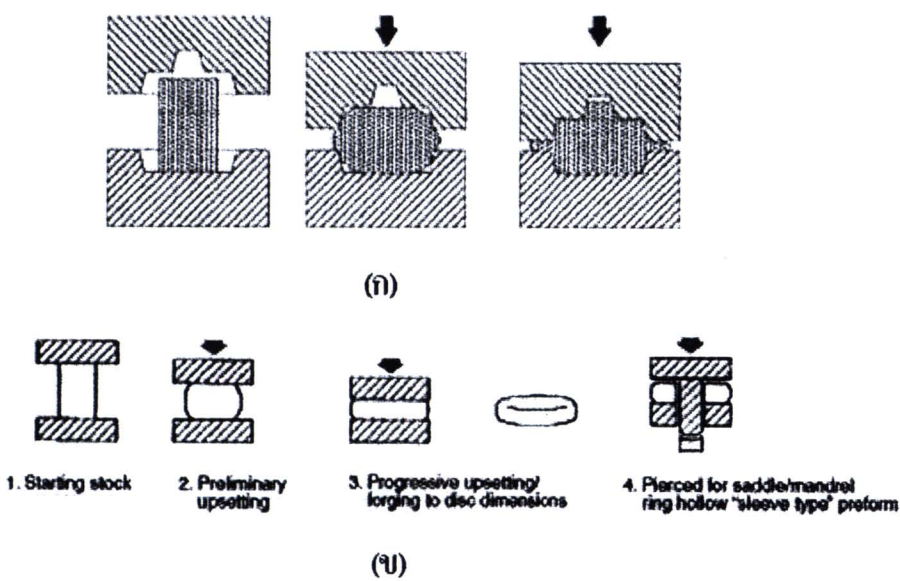


รูปที่ 2.13 การเปลี่ยนลักษณะโครงสร้างขณะทำการอบผนึกทั้ง 3 ขั้นตอน [19]

2.4 การทุบขึ้นรูป

การทุบขึ้นรูป (Forging) เป็นกระบวนการแปรรูปโลหะโดยใช้แรงกระแทก เพื่อทำให้โลหะเกิดการเปลี่ยนรูปร่างไปจากเดิม ซึ่งรูปร่างใหม่ที่ได้จะขึ้นอยู่กับแม่พิมพ์ สำหรับการทุบขึ้นรูปนั้น ถ้าทำการทุบขึ้นรูปที่อุณหภูมิต่ำกว่าอุณหภูมิกัดผลึกใหม่ (Recrystallization Temperature) ของที่วัสดุทำการทุบ เรียกว่า การทุบขึ้นรูปเย็น (Cold Forging) และหากทำการทุบที่อุณหภูมิสูงกว่าอุณหภูมิกัดผลึกใหม่ ของที่วัสดุทำการทุบ เรียกว่า การทุบขึ้นรูปร้อน (Hot Forging) ซึ่งคุณลักษณะเฉพาะของการทุบขึ้นรูปเย็นนั้นจะเกิด Work Hardening ทำให้วัสดุที่ไม่มีความแข็งสูงขึ้น และวัสดุมีขนาดความเที่ยงตรงสูง ผิวเรียบ ลดการตัดด้วยเครื่องกลในภายหลังทำให้ประหยัดวัสดุเป็นอย่างมาก ซึ่งหมายความว่าผลิตภัณฑ์มีคุณภาพสูง ขณะที่คุณลักษณะเฉพาะของการทุบรูปร้อน นั้นจะไม่เกิด Work hardening ขนาดจะไม่เที่ยงตรงนัก ผิวไม่เรียบ อันเนื่องมาจากการร้อนที่ให้กับโลหะ ทำให้เกิดปฏิกิริยาออกซิเดชันเกิดเป็นสารเคมีที่ผิว ทำให้ผิวไม่เรียบ

สำหรับกระบวนการทุบขึ้นรูปแบ่งตามลักษณะแม่พิมพ์ได้ 2 แบบ [20, 21] ได้แก่ คือ การทุบด้วยแม่พิมพ์ปิด (Closed Die Forging) และการทุบด้วยแม่พิมพ์เปิด (Open Die Forging) ดังแสดงในรูปที่ 2.14



รูปที่ 2.14 ลักษณะการทุบขึ้นรูปเมื่อแบ่งตามลักษณะแม่พิมพ์ [18]

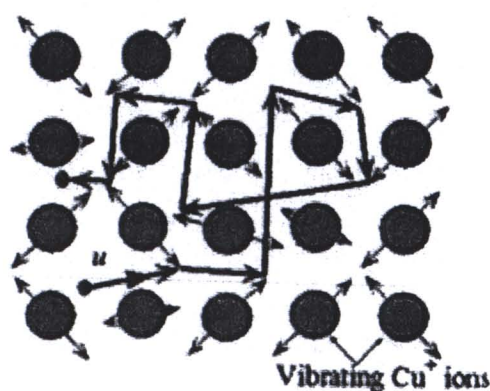
(η) การทุบด้วยแม่พิมพ์ปิด

(υ) การทุบด้วยแม่พิมพ์เปิด

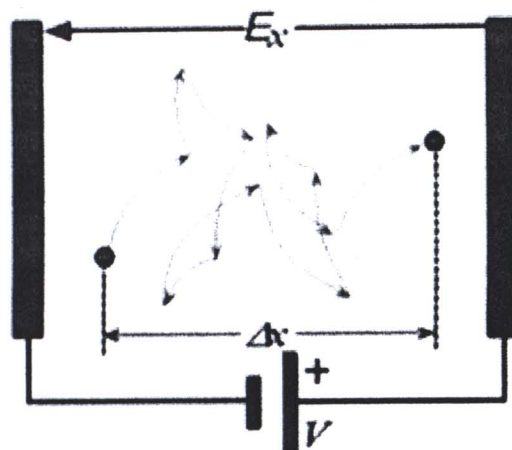
การทุบด้วยแม่พิมพ์ปีกทำให้โลหะไดรับแรงทุบ การไหลดตัวของโลหะจะถูกจำกัด ทำให้โลหะที่เข็นรูปมีขนาดและรูปร่างตามแบบของแม่พิมพ์ ส่วนการทุบขึ้นรูปแบบแม่พิมพ์ปีก ชิ้นงานจะถูกตีหรือกระแทว่างผู้ที่เรียบของแม่พิมพ์ รูปร่างที่ได้ส่วนจากแม่พิมพ์ปีกจะมีลักษณะเป็นแท่ง แผ่นหนา หรือแผ่นบาง มีหน้าตัดเป็นสี่เหลี่ยม วงกลม และรูปทรงง่ายๆ เป็นต้น ซึ่งชิ้นงานที่ผ่านการทุบขึ้นรูปแบบแม่พิมพ์ปีกนั้นจะมีลักษณะเฉพาะ คือ มีสมบัติทางกลสูง เพราะสามารถควบคุมการไหลดของเกรนในโลหะได้ ทุบขึ้นรูปชิ้นงานที่มีรูปร่าง รูปทรง ซับซ้อน ได้ เหมาะสำหรับการผลิตจำนวนมาก และเร็ว ไม่จำเป็นต้องใช้บุคลากรที่ชำนาญงาน มีความสามารถในการออกแบบได้ถูกต้อง มีการเพื่อสำหรับตัดปั๊ดด้วยเครื่องกลน้อยมาก เป็นการลดเวลาในการ ตัดปั๊ดด้วยเครื่องกลและลดการสิ้นเปลืองวัสดุและแม่พิมพ์ปีก ส่วนลักษณะเฉพาะของชิ้นงานที่ผ่านการทุบขึ้นรูปแบบแม่พิมพ์ปีกนั้นมีลักษณะดังนี้ คือ มีสมบัติทางกลต่ำ เพราะการควบคุมการไหลดของเกรนในโลหะทำได้ยาก ใช้ได้กับชิ้นงานที่มีรูปร่างง่ายๆ ผลิตได้ในช่วงสั้นๆ ต้องใช้บุคลากรที่ชำนาญงาน ยากที่จะรักษาระยะเพื่อไว้ได้พอประมาณ และต้นทุนในขั้นสุดท้ายจะสูงกว่าการทุบด้วยวิธีอื่น เพราะต้องนำไปตัดปั๊ดด้วยเครื่องกลอีกครั้งหนึ่ง

2.5 การนำไฟฟ้าของวัสดุ

เมื่ออะตอมของโลหะมีการจัดเรียงตัวอย่างมีระเบียบเกิดเป็นโครงร่างผลึก อะตอมเหล่านี้จะเกิดพันธะระหว่างกัน การเคลื่อนที่ของวัตถุซึ่งมีอิเล็กตรอนของแต่ละอะตอมจะเคลื่อนที่อย่างอิสระดังรูปที่ 2.15 เมื่อมีการใส่ความต่างศักย์ทางไฟฟ้าเข้าไป วัตถุซึ่งมีอิเล็กตรอนเหล่านี้จะเคลื่อนที่ไปในทิศทางเดียวกันด้วยความเร็วโดยเปลี่ยน ทำให้เกิดกระแสไฟฟ้าไหลขึ้น ดังรูปที่ 2.16

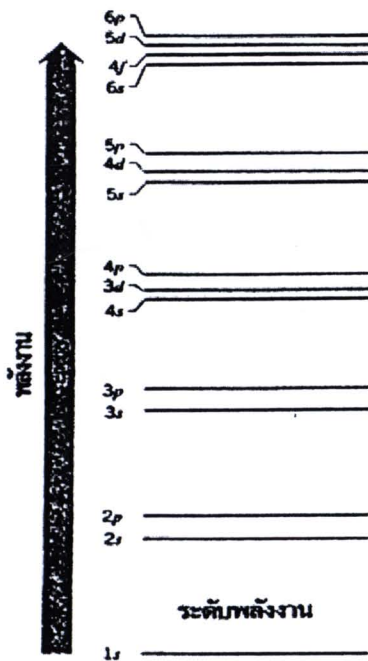


รูปที่ 2.15 แบบจำลองการเคลื่อนที่อย่างอิสระของอิเล็กตรอน [22]



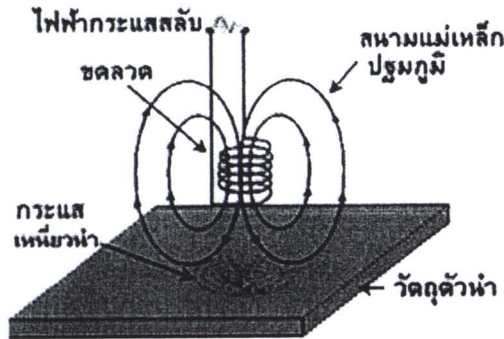
รูปที่ 2.16 แบบจำลองการเคลื่อนที่ด้วยความเร็ว掠อยเลื่อนของอิเล็กตรอน [22]

จากเหตุนี้ทำให้เข้าใจว่า ธาตุที่มีมวลซึ่งอิเล็กตรอนสูงจะนำไฟฟ้าได้ดีกว่าธาตุที่มีมวลซึ่งอิเล็กตรอนต่ำ แต่ในบางกรณีไม่ได้เป็นเช่นนั้น ดังเช่นกรณีของอะลูминิเนียมซึ่งมีมวลซึ่งอิเล็กตรอนเท่ากับสาม ($_1s^2 _2s^2 _2p^6 _3s^2 _3p^1$) แต่มีการนำไฟฟ้าน้อยกว่าทองแดงซึ่งมีมวลซึ่งอิเล็กตรอนเท่ากับหนึ่ง ($_1s^2 _2s^2 _2p^6 _3s^2 _3p^6 _3d^{10} _4s^1$) จึงต้องอาศัยทฤษฎีทางความค้อนตั้มอธินาย ซึ่งกล่าวว่า กระแสไฟฟ้าที่ไหลผ่านวัตถุขึ้นอยู่กับการเคลื่อนที่ของอิเล็กตรอนอิสระที่หลุดออกจากอะตอมเมื่อได้รับศักย์ไฟฟ้า และความสามารถของอิเล็กตรอนที่จะเคลื่อนที่จากอะตอมหนึ่งไปยังอะตอมหนึ่ง ดังนั้นธาตุที่มีอิเล็กตรอนอยู่ในชั้น $4s$ จะมีโอกาสอยู่ห่างจากนิวเคลียสมากกว่าอิเล็กตรอนที่อยู่ในชั้นพลังงานที่ต่ำกว่าชั้น $3p$ ดังรูปที่ 2.17 เป็นผลให้ธาตุที่มีอิเล็กตรอนตัวสุดท้ายอยู่ในชั้น $4s$ มีการนำไฟฟ้ามากกว่าอิเล็กตรอนที่อยู่ในชั้นพลังงานที่ต่ำกว่าซึ่งทำให้ทองแดงนำไฟฟ้าได้ดีกว่าอะลูминิเนียมแม้จะมีมวลซึ่งอิเล็กตรอนน้อยกว่า

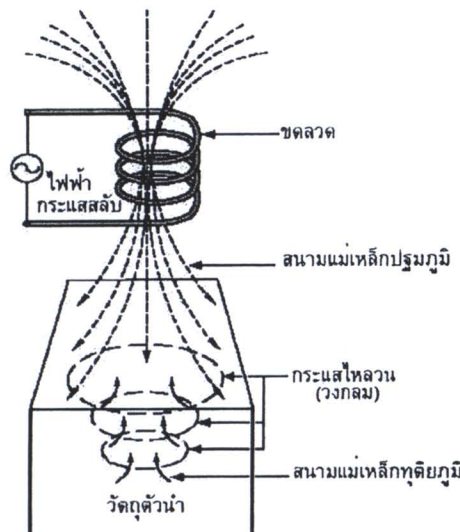


รูปที่ 2.17 ระดับพลังงานชั้นย่อยของอะตอม โดยเรียงตามลำดับพลังงาน [23]

หลักการการทดสอบการนำไฟฟ้าด้วยกระแสไฟฟ้าในวัตถุตัวนำที่อยู่ในบริเวณที่สนามแม่เหล็กเหนี่ยวนำทำให้เกิดแรงเคลื่อนไฟฟ้าในวัตถุตัวนำที่อยู่ในบริเวณที่สนามแม่เหล็กมีการเปลี่ยนแปลงแรงเคลื่อนไฟฟ้าเหนี่ยวนำจะทำให้เกิดกระแสเหนี่ยวนำไหลในวัตถุตัวนำนั้น กระแสเหนี่ยวนำนั้นเกิดจากการนำคลอดที่ขาดเป็นวงกลมที่ต่อปลายทั้งสองข้างด้วยกันเมื่อเวลาดลวนี้เข้าไปอยู่ในสนามแม่เหล็กที่เปลี่ยนแปลงจะมีกระแสไฟฟ้าไหลในชุดคลอดตามกฎของฟาราเดย์ ถ้าพิจารณาว่าแผ่นวัตถุตัวนำประกอบด้วยชุดคลอดขนาดต่างๆ จำนวนมากน้ำใจเรียงซ้อนเป็นเนื้อเดียวกัน และเมื่อนำไปวางในบริเวณที่สนามแม่เหล็กมีการเปลี่ยนแปลง จะเกิดการไหลเป็นวงกลมของกระแสเหนี่ยวนำขึ้นที่ชุดคลอดตัวนำแต่ละตัว ดังรูปที่ 2.18



รูปที่ 2.18 การเกิดกระแสเหนี่ยวนำบนวัตถุตัวนำ [24]



รูปที่ 2.19 กระแสไฟฟ้าในวนบนวัตถุตัวนำ [24]

จากรูปที่ 2.19 เมื่อป้อนไฟฟ้ากระแสสลับให้กับตัวนำ เช่น ลวดทองแดงจะเกิดสนามแม่เหล็กปฐมภูมิ (Primary Magnetic Field) ขึ้นรอบๆ ตัวนำ สนามแม่เหล็กนี้จะเพิ่มมากขึ้นเมื่อกระแสเพิ่มขึ้นสูงสุด และหายไปเมื่อกระแสลดลงเป็นศูนย์ ถ้าเอาวัตถุตัวนำอีกอันหนึ่งเข้ามาอยู่ภายใต้สนามแม่เหล็กที่กำลังเปลี่ยนแปลงนี้ สนามแม่เหล็กปฐมภูมิจะสร้างกระแสไฟฟ้าในวนบนวัตถุนำไฟฟ้า เมื่อมีกระแสไฟฟ้าของกระแสไฟฟ้าจะเปลี่ยนไปเป็นพลังงานความร้อน ในขณะที่เกิดกระแสไฟฟ้าในวนขึ้นตัวกระแสไฟฟ้าของกระแสไฟฟ้าจะสร้างสนามแม่เหล็กเหนี่ยวนำขึ้นต่อต้านการเปลี่ยนแปลงของสนามแม่เหล็กปฐมภูมิด้วยตามกฎของเลนส์ เรยกว่า สนามแม่เหล็กทุติกุนิ (Secondary Magnetic Field) ในด้านอุตสาหกรรมกระแสไฟฟ้าใช้ในการตรวจสอบร้าวหรือความผิดปกติของโลหะที่อยู่ลึกลงไปได้ผิวบริเวณที่มีรอยร้าวหรือมีฟองอากาศจะทำให้มีกระแสไฟฟ้าในวนผิดปกติสนามแม่เหล็กทุติกุนิก

ผิดปกติ ตัวรับรูรังสีແສໄຫລວນຈະແສคงໃຫ້ຜູ້ຕຽບສອບທຽບ ເກື່ອງມີວັດທະຍະກະຈົດແບນກະແສໄຫລວນທີ່ເໜີ່ຍຳນຳ (Eddy Current or Inductive Displacement) ມີໜັກການທຳການ ຄື່ອ ຕັ້ງປັບປຸງຮະບະກະຈົດແບນກະແສໄຫລວນ ໃຊ້ປະໂພຍືນຈຳກັດສະນາມແມ່ໜໍ້ກວາມຄື່ສູງທີ່ສ້າງໂດຍການຝ່າຍການຝ່າຍສະລັບກວາມຄື່ສູງຝ່າຍການຝ່າຍທີ່ອູ້ຫົວຂອງຕັ້ງປັບປຸງ ເມື່ອ ໂດຍເປົ້າໝາຍປຣາກູ້ຂຶ້ນກາຍໃນສະນາມແມ່ໜໍ້ກວາມຄື່ສູງຝ່າຍການຝ່າຍແລ້ວ ແລ້ວ ເກື່ອງໄຟຟ້າຈະກຳໄຟໃຫ້ກົດກະແສໄຫລວນຕັ້ງຈາກກັດສະນາມແມ່ໜໍ້ກວາມຄື່ສູງທີ່ຜ່ານເຂົ້າໄປບັນພື້ນພົວຂອງ ໂດຍເປົ້າໝາຍ ຜົ່ງພົວຂອງກະແສໄຫລວນກີ່ຈະກຳໄຟໃຫ້ເກີດການເປີ່ຍິນແປ່ລົງອິມີແດນໜີ້ຂອງຝ່າຍທີ່ຫົວຕັ້ງປັບປຸງແລ້ວແປ່ລົງພັນເປັນຮະບະກະຈົດ ຮະຫວ່າງຕັ້ງຫົວຕັ້ງປັບປຸງ ໂດຍເປົ້າໝາຍ

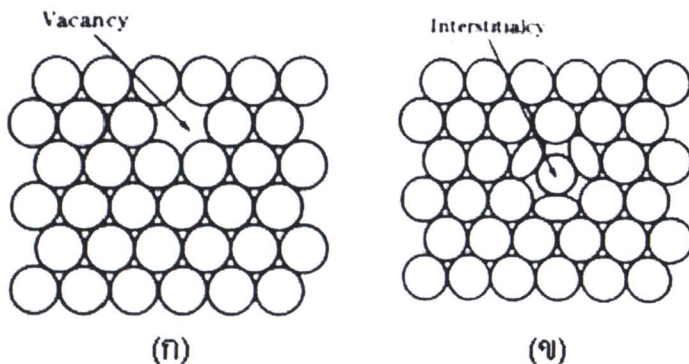
2.6 ຄວາມໄໝ່ສົມບູຮົມໜີ້ຂອງພລິກ

ຄວາມໄໝ່ສົມບູຮົມໜີ້ຂອງພລິກ ອີ່ຄວາມບກພ່ອງໃນການຈັດເຮີຍອະຕອນໃນໂຄຮງສ້າງພລິກ ສ່າງພົດໄຫ້ສົມບັດທາງກົດແລ້ວສົມບັດທາງກາຍກາພຂອງວັດສຸດເປີ່ຍິນໄປຈາກເດີມ ຄວາມໄໝ່ສົມບູຮົມໜີ້ຂອງພລິກສາມາດແປ່ງອອກຕາມເຮັດຄົມືຕະແຫຼງປ່ຽງໄດ້ 4 ແບນ ອີ່ ຄວາມໄໝ່ສົມບູຮົມໜີ້ແບນຈຸດ ຄວາມໄໝ່ສົມບູຮົມໜີ້ແບນເສັ້ນ ຄວາມໄໝ່ສົມບູຮົມໜີ້ແບນບະນານ ແລະ ຄວາມໄໝ່ສົມບູຮົມໜີ້ແບນບົຣິມາຕຣ

2.6.1 ຄວາມໄໝ່ສົມບູຮົມໜີ້ແບນຈຸດ

ຄວາມໄໝ່ສົມບູຮົມໜີ້ແບນຈຸດທີ່ ແບນສູນຢືນຕີ (Point or Zero-Dimension Defects) ເປັນຄວາມໄໝ່ສົມບູຮົມໜີ້ທີ່ເກີດເພາະແຫ່ງທີ່ ໂດຍສາມາດເກີດໄດ້ຫລາຍລັກຍັນເນື່ອງມາຈາກສາເຫຼຸດຕ່າງໆ ເຊັ່ນ ອະຕອນອູ້ຜົດຕໍ່ແຫ່ງ ອະຕອນຫາຍໄປຈາກຕໍ່ແຫ່ງເດີມ ອີ່ນີ້ອະຕອນແປລກປລອມເຂົ້າມາໃນພລິກ ເປັນຕົ້ນ ຄວາມໄໝ່ສົມບູຮົມໜີ້ແບນຈຸດ ເກີດຂຶ້ນໄດ້ຫລາຍລັກຍັນ ດັ່ງຮູບປົງ 2.20 ອີ່ (ກ) ການເກີດຂ່ອງວ່າງ (Vacancy Defect) ເປັນຄວາມໄໝ່ສົມບູຮົມໜີ້ທີ່ພົນໄດ້ນ່ອຍທີ່ສຸດ ຈາກເກີດຮ່ວ່າງກະບວນການແຈ້ງຕັ້ງຂອງຂອງແຈ້ງ (Solidification) ອີ່ການສັ່ນຂອງອະຕອນເນື່ອໄດ້ຮັບຄວາມຮ້ອນ (χ) ການແທຣກຂອງອະຕອນ (Interstitial Defect) ເປັນຄວາມໄໝ່ສົມບູຮົມໜີ້ທີ່ເກີດຂຶ້ນເນື່ອງຈາກອະຕອນໜຶ່ງເຂົ້າໄປແທຣກຕ້ວອູ້ໃນໜຶ່ງຈ່າຍວ່າຮ່ວ່າງອະຕອນ ຄ້າອະຕອນທີ່ເກີດການແທຣກຕ້ວໃນໜຶ່ງເປັນໜິນດີເຄີຍວັນຈະເຮີຍກວ່າ Self-Interstitial ຜົ່ງການແທຣກຕ້ວ ແບນນີ້ທີ່ໃຫ້ໂຄຮງສ້າງພລິກໄໝ່ເສົ່ຍ່າ ແລະ ເກີດກວາມບົດເປີ້ຍ (Distortion) (κ) Schottky Defect ເປັນຄວາມໄໝ່ສົມບູຮົມໜີ້ທີ່ເກີດໃນວັດສຸດທີ່ມີພັນຮະໄອອອນນິກ ໂດຍໄອອອນບວກແລະໄອອອນລົບຫລຸດອອກຈາກໂຄຮງສ້າງເປັນຄູ່ ເພື່ອຮັກຍາປະຈຸໂຄຮງສ້າງໃຫ້ເປັນກາລາງອູ້ສົມອ ທຳໄຫ້ເກີດຂ່ອງວ່າງ 2 ຈ່ອງຂອງປະຈຸບວກແລະປະຈຸລົບຂຶ້ນ ໂດຍຂ່ອງວ່າງທີ່ເກີດຂຶ້ນສາມາດນຳໄປໃຫ້ໃນກະບວນການພລິຕວັດສຸດກົ່ງຕັ້ງນຳ (Semiconductor) ໄດ້ ແລະ (η) Frenkel Defect ເປັນຄວາມໄໝ່ສົມບູຮົມໜີ້ແບນຈຸດທີ່ເກີດຂ່ອງວ່າງຂຶ້ນ ເນື່ອງຈາກ

ไอออนบวกที่มีขนาดเล็กเข้าไปแทรกตัวอยู่ระหว่างไอออนบวกกับไอออนลบอีกตัวหนึ่งทำให้เกิดช่องว่างของประจุบวกขึ้น



รูปที่ 2.20 ลักษณะความไม่สมบูรณ์ของผลึกแบบจุด [25]

(ก) การเกิดช่องว่าง (Vacancy Defect)

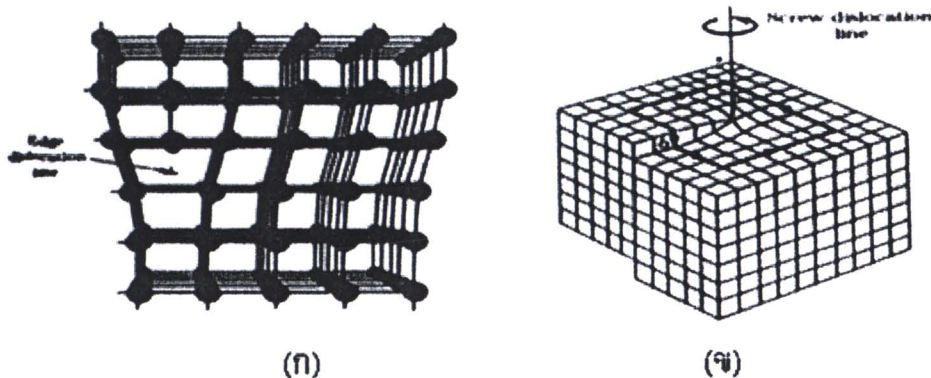
(ข) การแทรกของอะตอม (Interstitial Defect)

โดยปกติโลหะมักจะมีชาตุอื่นเจือปนอยู่เสมอ การที่โลหะถูกเจือปนด้วยชาตุอื่นๆ ทำให้อะตอมของแต่ละชาตุเกาะกันเป็นผลึกทำให้ผลึกของโลหะเกิดความไม่สมบูรณ์ ความไม่สมบูรณ์ของผลึกที่เกิดขึ้นนี้ถือเป็นความไม่สมบูรณ์แบบจุด ซึ่งเกิดขึ้นได้จาก 2 ลักษณะ คือ (ก) การแทนที่ด้วยอะตอมของชาตุอื่น (Substitutional Impurity Atom) มักเกิดขึ้นเมื่ออะตอมของชาตุนั้นมีขนาดใกล้เคียงกัน และ (ข) การแทรกตัวในช่องว่างของอะตอมชาตุอื่น (Interstitial Impurity Atom) มักเกิดขึ้นในกรณีที่อะตอมของชาตุเจือปนนั้นมีขนาดเล็กเพียงพอที่จะแทรกลงไปในช่องว่างระหว่างอะตอมของชาตุหลักได้ โดยทั่วไปสมบัติของวัสดุที่เกิดจากความไม่สมบูรณ์ของผลึกประเภทนี้ จะขึ้นอยู่กับชาตุที่เจือปน โดยชาตุบางชนิดที่ทำการเติมอาจทำให้สมบัติทางกล ทางกายภาพ ดีขึ้นหรือลดลงได้ เช่น สมบัติทางกลด้านความแข็งดีขึ้นเนื่องจากอะตอมเหล่านั้นจะทำหน้าที่ขัดขวางการเคลื่อนที่ของคิสโลเคลชัน ทำให้วัสดุนั้นมีความแข็งขึ้น หรือสมบัติด้านการนำไฟฟ้าลดลง เนื่องจากว่าอะตอมที่ทำ การแทรกตัวหรือเข้าไปแทนที่ในอะตอมของชาตุอื่นนั้นไปขัดขวางการส่งผ่านของอิเล็กตรอนอิสระ

2.6.2 ความไม่สมบูรณ์แบบเส้น

ความไม่สมบูรณ์แบบเส้น หรือ แบบหนึ่งมิติ (Line or One-Dimension Defects) เป็นความบกพร่องเชิงเส้น สามารถเรียกได้อีกอย่างหนึ่งว่า คิสโลเคลชัน (Dislocation) เป็นความบกพร่องที่ทำให้เกิดการบิดเบี้ยวของผลึก หรือการพิครูป (Plastic Deformation) ของวัสดุ มักจะเกิดขึ้นในขณะที่โลหะ

หลอมเหลวที่แข็งตัว มี 2 ลักษณะ ดังรูปที่ 2.21 คือ (ก) Edge Dislocation เกิดจากระนาบครึ่งระนาบพิเศษ (Extra Half Plan) แทรกในโครงสร้างผลึก ทำให้เกิดสภาวะถูกอัดในบริเวณที่ถูกแทรก โดยเบอร์เกอร์สเวกเตอร์ (Burgers Vector) ที่เกิดขึ้นจะตั้งฉากกับระนาบครึ่งระนาบพิเศษ (ข) Screw Dislocation เกิดจากการไส้แรงเฉือนเข้าไปในโครงสร้างผลึกที่สมบูรณ์ทำให้โครงสร้างผลึกเกิดการเสียรูปหรือบิดเบี้ยวไป โดยเวกเตอร์เบอร์เกอร์สที่เกิดขึ้นใน Screw Dislocation จะมีทิศทางกับเส้นดิสโลเคชัน (Dislocation Line)



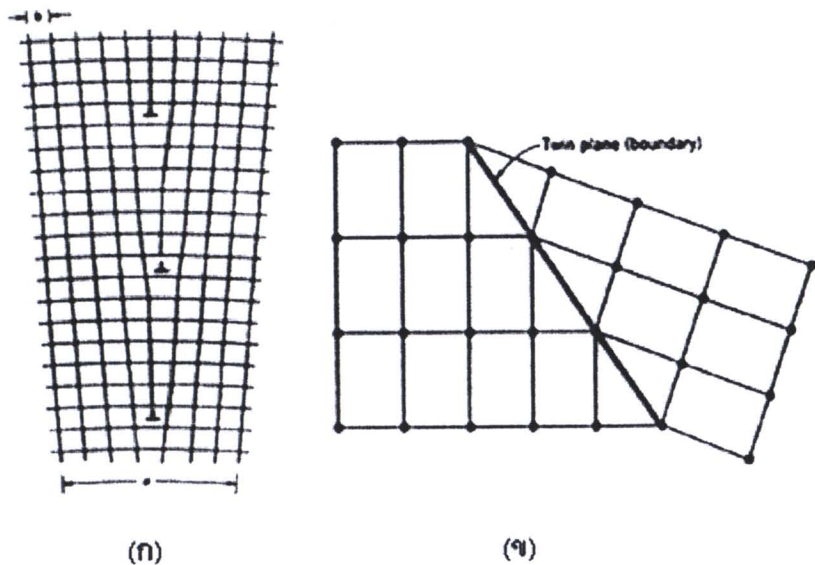
รูปที่ 2.21 ลักษณะความไม่สมบูรณ์ของผลึกแบบเส้น [25]

(ก) Edge Dislocation

(ข) Screw Dislocation

2.6.3 ความไม่สมบูรณ์แบบระนาบ

ความไม่สมบูรณ์แบบระนาบ หรือ แบบสองมิติ (Planar or Two-Dimension Defects) คือบริเวณที่แบ่งแยกระหว่างพื้นที่ที่มีโครงสร้างผลึกหรือการจัดเรียงตัวของผลึกที่แตกต่างกัน ความไม่สมบูรณ์แบบระนาบมีหลายประเภท ดังรูปที่ 2.22 เช่น ความไม่สมบูรณ์แบบระนาบบริเวณขอบกรan (Grain Boundary) ความไม่สมบูรณ์แบบระนาบแบบขอบเขตแฝด (Twin Boundary) เป็นต้น



รูปที่ 2.22 ลักษณะความไม่สมบูรณ์ของผลึกแบบระนาบ [25]

- (ก) ความไม่สมบูรณ์แบบระบบบริเวณขอบเกรน
 (ข) ความไม่สมบูรณ์แบบระบบแบบขอบเขตแฟด

2.6.4 ความไม่สมบูรณ์แบบสามมิติ

ความไม่สมบูรณ์แบบสามมิติ หรือ แบบปริมาตร (Three-Dimension or Bulk Defects) เป็นความบกพร่องที่มักเกิดขึ้นระหว่างการขึ้นรูป เช่น รูพรุน (Pore) รอยแตก (Crack) การมีสิ่งปลอมปน (Foreign Inclusion) หรือการเฟสอัมอร์ฟัส (Amorphous Phase)

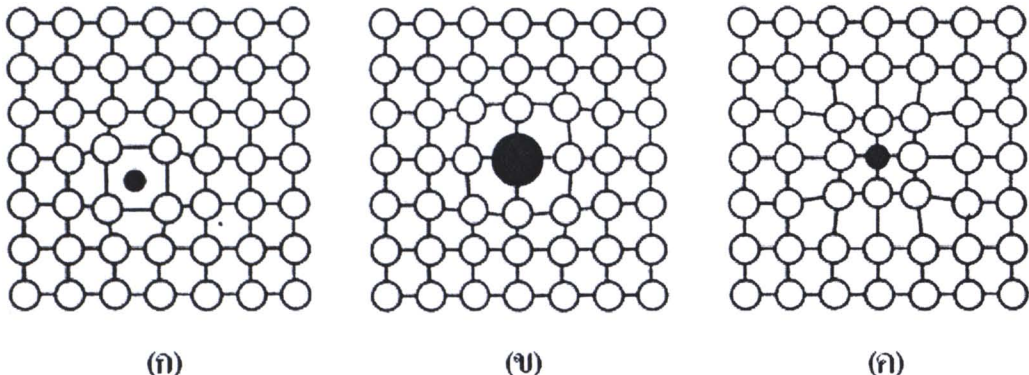
2.7 ความแข็งแรงของวัสดุ

การเพิ่มความแข็งแรงให้แก่รากศูนย์มีหลักวิธี [25, 26] เช่นการลดขนาดเกรน การเพิ่มความแข็งแรงโดยการทำให้เกิดสารละลายของแข็ง การเพิ่มความแข็งแรงจากความเครียด การตกผลึกใหม่ เป็นต้น

2.7.1 การเพิ่มความแข็งแรงด้วยสารละลายของแมง

โลหะบริสุทธิ์มีความแข็งและความแข็งแรงน้อยกว่าโลหะผสม เนื่องจากจะต้องทนทานกัน และมีขีดจำกัดเท่ากัน ความผิดปกติของโครงสร้างผลึกซึ่งมีน้อยเมื่อเทียบกับโลหะผสม ในกรณีของโลหะผสมนั้นจะต้องทนทานของธาตุผสมจะไปแทรกหรือแทนที่ของธาตุหลัก เนื่องจากมีความ

แตกต่างกันในเรื่องของขนาดจึงทำให้เกิดสนามความเครียดขึ้น ซึ่งสนามความเครียดนี้จะส่งผลให้ดิสโลเชชัน (Dislocation) เคลื่อนที่ได้จากขึ้น ทำให้สมบัติทางกลเปลี่ยนไป ถ้าอะตอมของชาตุพสมมีขนาดเล็กกว่าอะตอมของชาตุหลักจะเกิดสารละลายของแข็งแบบแทรก (Interstitial Solid Solution) ขณะที่อะตอมของชาตุพสมมีขนาดใหญ่กว่าหรือใกล้เคียงกับอะตอมชาตุหลักจะเกิดสารละลายของแข็งแบบแทนที่ (Substitutional Solid Solution) แสดงดังรูปที่ 2.23



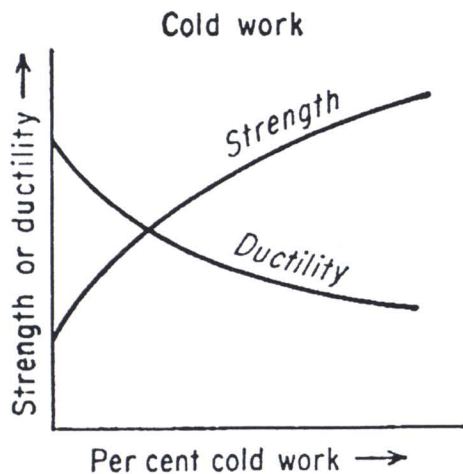
รูปที่ 2.23 ลักษณะของอะตอมที่เกิดเป็นสารละลายของแข็ง [23]

- (ก) การเกิดสารละลายของแข็งแบบแทรก
- (ข) และ (ค) การเกิดสารละลายของแข็งแบบแทนที่

2.7.2 การเพิ่มความแข็งแรงจากความเครียด

โดยทั่วไปเมื่อโลหะหนีบผ่านการขึ้นรูปเย็น (Cold Working) หรือแปรรูป (Work Hardening) โลหะจะมีความแข็งแรง (Strength) สูงขึ้นแต่ความหนืด (Ductility) ลดลง ดังรูปที่ 2.24 ซึ่งจากรูปพบว่าเมื่อปริมาณการขึ้นรูปเย็นสูงขึ้น ความแข็งแรงก็ยิ่งมีค่าสูงขึ้น แต่จะเดียวกันค่าความหนืดกลับมีค่าลดลง





รูปที่ 2.24 การเปลี่ยนแปลงความแข็งแรงและความ延展เมื่อปริมาณการขึ้นรูปเปลี่ยนไป [26]

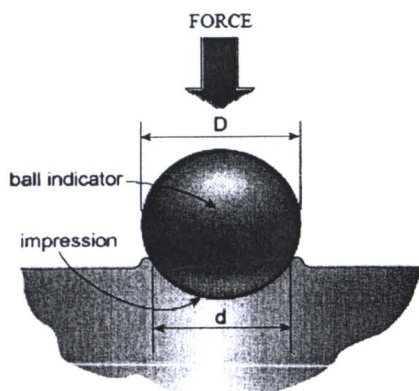
การเพิ่มความแข็งแรงจากความเครียดเกิดจากการขึ้นรูปเปลี่ยนทำให้ปริมาณของคิสโลเกชันมากขึ้น มีความหนาแน่นสูงขึ้น ระหว่างระหว่างคิสโลเกชันแต่ละคิสโลเกชันจะลดลงหรือซิดกันมากขึ้น ส่งผลให้คิสโลเกชันแต่ละคิสโลเกชันออกแรงผลักกันมากขึ้น การเคลื่อนที่ของคิสโลเกชันจะถูกขัดขวางด้วยคิสโลเกชันตัวอื่น ทำให้การขึ้นรูปเปลี่ยนต้องใช้แรงมากขึ้นซึ่งหมายถึงการทนต่อความเคี้นมากขึ้นหรือมีความแข็งแรงเพิ่มขึ้นนั่นเอง ดังนั้นมีปริมาณของการขึ้นรูปเปลี่ยนมีค่าสูงขึ้น จะส่งผลให้มีค่าความแข็งและความแข็งแรงเพิ่มขึ้นไปด้วย

2.8 การทดสอบความแข็งของวัสดุ

ความแข็งหมายถึง ความต้านทานการเกิดรอยกดอย่างถาวร ปัจจุบันวิธีการทดสอบความแข็งอาจจำแนกออกเป็น 3 กลุ่มย่อย คือ (ก) การทดสอบความแข็งโดยใช้หัวกระแทกแบบสะท้อน (Rebound Hardness Test) ซึ่งใช้หลักการทดสอบที่อาศัยการสะท้อนของหัวกระแทกที่มีรูปทรงและมิติตามมาตรฐานกับชิ้นงานที่ต้องการทดสอบ (ข) การทดสอบความแข็งด้วยการขูดขีด (Scratch Test) เป็นการทดสอบหาความต้านทานต่อการถูกขีดปั่น นิยมใช้ในงานทางธรณีวิทยาและวิศวกรรมเหมือนกัน ในการทดสอบจะนำวัสดุชนิดหนึ่งมาขีดบนวัสดุอีกชนิดหนึ่ง หากวัสดุที่อ่อนกว่าวัสดุที่นำมาขีดก็จะปรากฏรอยขีดบนวัสดุนั้น นิยมใช้สเกลของโมห์ (Moh's Scale) ซึ่งกำหนดความแข็งเป็นตัวเลข และ (ค) การทดสอบความแข็งโดยใช้หัวกด (Static Indentation Test) เป็นการทดสอบที่นิยมใช้มากที่สุด ในงานโลหะวิทยา สามารถจำแนกออกเป็น 3 กลุ่มย่อยตามลักษณะวิธีการทดสอบ [27] ซึ่งได้แก่

2.8.1 การทดสอบความแข็งแบบบรินเนลล์

หลักการของการทดสอบความแข็งแบบบรินเนลล์ (Brinell Hardness Testing) คือ อาศัยแรงกดบนผิวชิ้นงานที่ทำการทดสอบผ่านลูกบอลมาตรฐานที่ทำมาจากเหล็กกล้าชุบแข็ง ขนาดของหัวกดมีอยู่หลายขนาด แต่ที่นิยมใช้มีเส้นผ่านศูนย์กลาง 10 มิลลิเมตร ดังรูปที่ 2.25 โดยขนาดของแรงกดจะขึ้นอยู่กับผิวของชิ้นงานที่ทำการทดสอบ



รูปที่ 2.25 การทดสอบความแข็งแบบบรินเนลล์ [27]

ค่าความแข็งบรินเนลล์ (HB) คำนวณจากอัตราส่วนของน้ำหนักที่ใช้กดต่อพื้นที่ส่วนโคลงรอบคด คำนวณได้ดังสมการที่ 2.3 [27] มีหน่วยเป็น กิโลกรัมต่อตารางมิลลิเมตร

$$HB = \frac{P}{(\pi D/2)(D - \sqrt{D^2 - d^2})} = \frac{P}{\pi D t} \quad \dots \dots \dots \quad (2.3)$$

เมื่อ	P	คือ น้ำหนักที่ใช้กด (กิโลกรัม)
	D	คือ ขนาดเส้นผ่านศูนย์กลางของหัวกดทรงกลม (มิลลิเมตร)
	d	คือ ขนาดเส้นผ่านศูนย์กลางของรอยกดบนผิวชิ้นทดสอบ (มิลลิเมตร)
	t	คือ ขนาดระยะลึกของรอยกดจากผิวน้ำลึกลงไป (มิลลิเมตร)

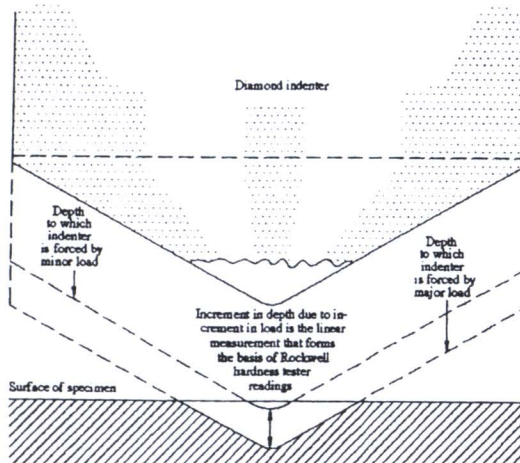
ในการเลือกน้ำหนักกดต้องพิจารณาจากความแข็งและชนิดของวัสดุที่ต้องทำการทดสอบ เพื่อป้องกันไม่ให้หัวกดจนลงชิ้นงานมากเกินไป และในกรณีที่วัสดุที่ต้องการทดสอบเป็นวัสดุที่แข็งมากอาจ

จำเป็นต้องเปลี่ยนหัวกดที่ทำจากเหล็กกล้าชุบแข็งเป็น ชนิดที่ทำจากทังสเตนคาร์ไบด์ เนื่องจากว่า หัวกดทั้ง 2 ชนิดมีความแข็งที่แตกต่างกัน โดยหัวกดชนิดที่ทำจากเหล็กกล้าชุบแข็งมีความแข็งเพียง 444 HB ขณะที่ชนิดที่ทำจากทังสเตนคาร์ไบด์ มีความแข็ง 627 HB ดังนั้นถ้าใช้ไม่เหมาะสมจะทำให้ หัวกดเกิดการเสียความกลม หรืออาจเกิดจุดกรากบนตัววัสดุหัวกดทำให้เสียรูปถาวร อย่างไรก็ตาม ความแข็งที่อ่อนได้จาก หัวกดแบบทังสเตนคาร์ไบด์จะต่างไปจากหัวที่อ่อนได้จากหัวกดเหล็กกล้าชุบ แข็งเล็กน้อยทำให้ต้องใช้ตารางแปลงค่าความแข็ง

การทดสอบความแข็งแบบบริเนลล์นั้นหัวกดทรงกลมจะมีขนาดค่อนข้างใหญ่ ดังนั้น พื้นที่ของรอย กดจึงมากกว่าการทดสอบชนิดอื่น ซึ่งจากขุนนี้มีข้อดีที่ว่า หากวัสดุมีโครงสร้างจุลภาคที่ไม่สม่ำเสมอ แต่ผู้ทดสอบต้องการหาความแข็งเฉลี่ย การทดสอบแบบบริเนลล์จะดีกว่าเนื่องจากพื้นที่รอยกดขนาดใหญ่ช่วยให้เฉลี่ยความแตกต่างในระดับจุลภาคได้ แต่ถ้าผู้ทดสอบต้องการทดสอบหาความ เปลี่ยนแปลงความแข็งหรือสมบัติของวัสดุในระดับจุลภาค ผู้ทดสอบจะไม่สามารถใช้การทดสอบ ความแข็งแบบบริเนลล์ได้

2.8.2 การทดสอบความแข็งแบบรอกเวลล์

หลักการทดสอบความแข็งแบบรอกเวลล์ (Rockwell Hardness Testing) จะแตกต่างกับการทดสอบ ความแข็งวิธีอื่นคือ ค่าความแข็งแบบรอกเวลล์จะตัดสินจากระยะที่หัวกดจะจมลงไปในผิวชิ้นงาน สำหรับวัสดุแข็งหัวกดจะจมลงไปได้น้อย และสำหรับวัสดุอ่อนหัวกดจะจมลงไปได้มาก ดังรูปที่ 2.26 แสดงหลักการคิดค่าความแข็งแบบรอกเวลล์จากความลึกของรอยกด



รูปที่ 2.26 หลักการคิดค่าความแข็งแบบรอกเวลล์จากความลึกของรอยกด [27]

จากหลักการนี้ทำให้ช่วยลดข้อตอนในการเตรียมผิวชิ้นงาน และการตรวจสอบพื้นที่รอยกด เมื่อ้อน วิธีการทดสอบอื่นๆ แต่มีข้อบกพร่องตรงที่ระบบการจมลึกของหัวกดไม่ได้เป็นความสัมพันธ์เชิงเส้น กับความแข็ง ทำให้เกิดการแบ่งการทดสอบออกเป็นการทดสอบย่อยๆ ซึ่งเรียกว่า สเกล การทดสอบ แต่ละสเกลนั้นจะกำหนดรูปทรงสัณฐานของหัวครอบทั้งน้ำหนักกดแตกต่างกัน ไปตามแต่ละสเกล นั้นๆ ดังตารางที่ 2.2 โดยทั่วไปจะมีหัวกดหลักอยู่ 2 ชนิด คือ หัวกรูปโคน (Brale Indenter) ส่วน ปลายจะทำการเพชร มนุษย์โคนเท่ากัน 120 องศา และหัวกดชนิดทรงกลมที่ทำมาจากการเหล็กกล้าชุบ แข็ง

ตารางที่ 2.2 สเกลการทดสอบความแข็งแบบรอกเวลล์ แสดงชนิดหัวกดและน้ำหนักกดหลัก [27]

สเกล	ชนิดของหัวกด (ขนาดเส้นผ่านศูนย์กลาง)	น้ำหนักกดหลัก (กิโลกรัม)
A	Diamond	60
B	Steel ball (1.588 mm dia.)	100
C	Diamond	150
D	Diamond	100
E	Steel ball (3.175 mm dia.)	100
F	Steel ball (1.588 mm dia.)	60
G	Steel ball (1.588 mm dia.)	150
H	Steel ball (3.175 mm dia.)	60
K	Steel ball (3.175 mm dia.)	150
L	Steel ball (6.350 mm dia.)	60
M	Steel ball (6.350 mm dia.)	100
P	Steel ball (6.350 mm dia.)	150
S	Steel ball (12.70 mm dia.)	60
R	Steel ball (12.70 mm dia.)	100
V	Steel ball (12.70 mm dia.)	150

สำหรับการทดสอบในแบบที่ใช้หัวกดแบบโคนที่ทำการเพชรจะไม่มีปัญหาในเรื่องความแข็งของวัสดุ ชิ้นงานที่สูงเกินไป แต่หากวัสดุที่นำมาทดสอบค่อนข้างนิ่นหัวกดจะจมลึกลง ไปมาก ทำให้ค่าที่ได้มี ความคลาดเคลื่อน ดังนั้นการทดสอบแบบที่ใช้หัวกดแบบโคนที่ทำการเพชร จะมีจุดจำกัดล่างอยู่ที่ ความแข็งประมาณ 20 ส่วนการทดสอบแบบใช้หัวกดทรงกลม เช่น สเกลทดสอบแบบ B จะมีค่าความแข็งสูงสุดได้ถึง 130 แต่หากค่าความแข็งที่ทดสอบอยู่ในช่วง 100 ถึง 130 ควรหลีกเลี่ยงการทดสอบ

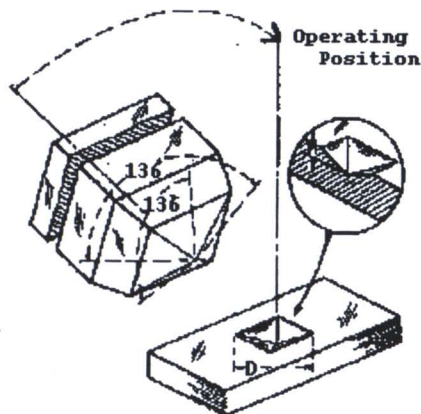
ในสเกลนี้ โดยค่าความแข็งแบบรอกเวลล์นี้สามารถอ่านค่าจากเครื่องทดสอบได้เลย ไม่ต้องใช้สูตรคำนวณ

2.8.3 การทดสอบความแข็งแบบวิคเกอร์ส

หลักการทดสอบความแข็งแบบวิคเกอร์ส (Vicker Hardness Testing) มีลักษณะคล้ายกับการทดสอบแบบบรินเดล์ ที่กำหนดให้ค่าความแข็งมีค่าเท่ากับอัตราส่วนของน้ำหนักที่ใช้กดต่อพื้นที่รอยกด แต่ต่างกันที่รูปทรงสัมผaanของหัวกดแบบวิคเกอร์สเป็นหัวกดจัตุรัสที่ทำจากเพชร มุนระห่วงหน้าเพรา มีค้านที่ตรงข้ามกันจะเท่ากับ 136 องศา ดังรูปที่ 2.27 ค่าความแข็งแบบวิคเกอร์ส (HV) คำนวณได้ดังสมการที่ 2.4 [27] มีหน่วยเป็น กิโลกรัมต่อตารางมิลลิเมตร

$$HV = \frac{2P\sin(136^\circ/2)}{d^2} = 1.8544 \frac{P}{d^2} \quad \dots\dots\dots (2.4)$$

เมื่อ	P	คือ น้ำหนักที่ใช้กด (กิโลกรัม)
	d	คือ ขนาดเส้นทแยงมุมของรอยครุภูปทรงสี่เหลี่ยมจัตุรัส (มิลลิเมตร)

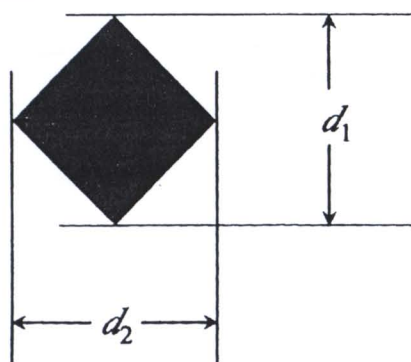


รูปที่ 2.27 ลักษณะหัวกดและรอยกดของการทดสอบความแข็งแบบวิคเกอร์ส [27]



โดยขนาดของเส้นที่แบ่งมุมเฉลี่ยสามารถหาได้ดังรูปที่ 2.28

$$d = \frac{d_1 + d_2}{2}$$



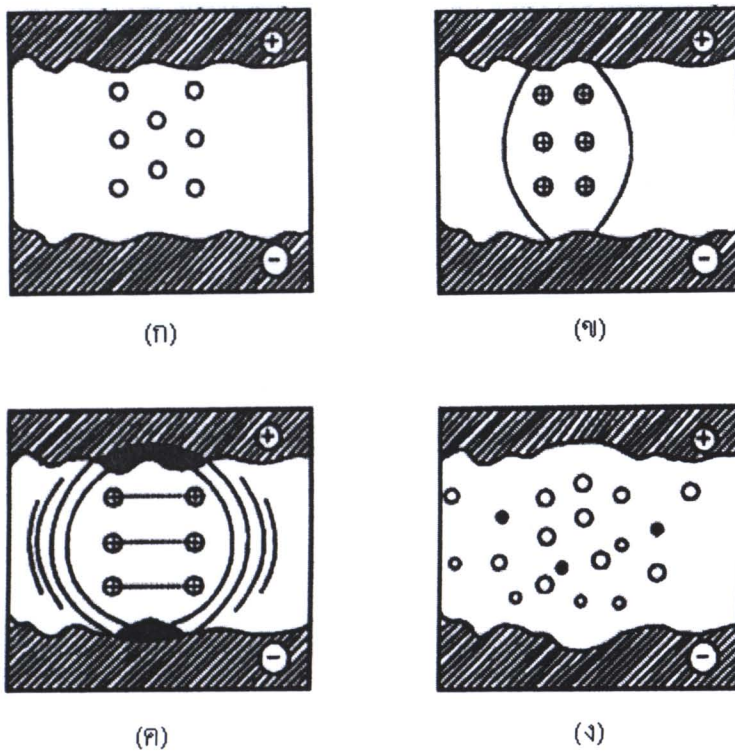
รูปที่ 2.28 การหาขนาดเส้นที่แบ่งมุมเฉลี่ยจากเส้นที่แบ่งมุมในสองแนวซึ่งทำมุมกัน 90 องศา [27]

หัวคดสำหรับการทดสอบความแข็งแบบวิกเกอร์สจะมีอยู่เพียงแบบเดียว การทดสอบวัสดุที่มีความแข็งหลากหลายแตกต่างกันจะใช้การปรับน้ำหนักที่ใช้กดแทน ในการทดสอบแบบวิกเกอร์ส ธรรมดานั้นน้ำหนักกดจะใช้อยู่ที่ 1 ถึง 20 กิโลกรัม สำหรับการทดสอบวัสดุที่มีความแข็งสูงจะใช้น้ำหนักกดมากเพื่อให้ได้ร้อยกตที่ใหญ่พอจะตรวจขนาดเส้นที่แบ่งมุมได้แม่นยำ ในทางกลับกันวัสดุที่จะทดสอบค่อนข้างอ่อนจะต้องเลือกน้ำหนักกดที่น้อยเพื่อป้องกันไม่ให้หัวคดจนลึกลงไปในชิ้นงานมากเกิน ซึ่งจุดเด่นของการทดสอบความแข็งแบบวิกเกอร์สอยู่ตรงที่ค่าความแข็งที่ตรวจได้จะไม่ขึ้นกับน้ำหนักที่ใช้กด ทำให้การทดสอบมีความต่อเนื่องกันตลอดตั้งแต่วัสดุอ่อนจนถึงวัสดุแข็งด้วยการทดสอบเพียงสเกลเดียว ทั้งนี้เนื่องจากหัวคดแบบพิรามิดของวิกเกอร์สนั้น มุมของหน้าพิรามิดค้านตรงข้ามกันเท่ากันเท่ากับ 136 องศา ช่วยให้ร้อยกตสามารถรักษาอัตราส่วนรูปทรงเรขาคณิตไว้ได้แม้การการزمลึกของหัวคดจะแตกต่างกันไป ในขณะที่หัวคดที่เป็นทรงกลมนั้น เมื่อทำการทดสอบวัสดุชนิดเดียวกันสองครั้ง โดยใช้น้ำหนักกดที่แตกต่างกัน การزمลึกของหัวคดจะแตกต่างกันไป เนื่องจากหัวคดมีลักษณะเป็นทรงกลม การزمลึกที่แตกต่างกันทำให้ร้อยกตที่ได้มีลักษณะทางเรขาคณิตที่แตกต่างกันส่งผลให้การกระจายของความเค้นแรงร้อยกตมีสภาวะแตกต่างกันทำให้ความแข็งที่คำนวณได้ต่างกัน

2.9 หลักการทำงานของอีดีเอ็ม

อีดีเอ็ม (EDM: Electrical Discharge Machining) เป็นกระบวนการกัดเช่า廓หะโดยใช้ประจุไฟฟ้าชั้นงานที่นำมาใช้ในกระบวนการต้องสามารถนำไฟฟ้าได้ ลักษณะการแยกอนุภาคของวัสดุคืออีดีเอ็มแสดงดังรูปที่ 2.29 กระบวนการกัดเช่า廓หะโดยใช้ประจุไฟจะเกิดขึ้นในสาร ไฮอิเล็กตริก ดังรูปที่ 2.29 (ก) ซึ่งทำหน้าที่เป็นผนวนระหว่างอิเล็กโทรคัพชั้นงาน และช่วยระบายน้ำร้อนจากชั้นงาน และอิเล็กโทรด เมื่อความร้อนที่สูงเกินไปนั้น จะทำให้อิเล็กโทรคเกิดการสึกหรอสูง

เมื่อนำชั้นงานและอิเล็กโทรดวงในตำแหน่งที่พร้อมจะทำงานและตอกับแหล่งกำเนิดไฟฟ้ากระแสตรง ซึ่งกระแสไฟฟ้าเหล่านี้จะถูกเปิด/ปิด ด้วยสวิตซ์ เมื่อทำการต่อวงจร ความต่างศักย์ระหว่างอิเล็กโทรคัพชั้นงานจะถูกสร้างขึ้นเป็นสนามไฟฟาระหว่างแอนด์กันค่าโทรด ดังรูปที่ 2.29 (ข) เมื่อเคลื่อนอิเล็กโทรดเข้าหาชั้นงานจนถึงระยะห่างค่าหนึ่ง สาร ไฮอิเล็กตริกจะเกิดการสูญเสียความเป็นผนวน ทำให้เกิดการสปราร์คขึ้น ดังรูปที่ 2.29 (ค) เนื่องจากกระบวนการนี้เป็นกระบวนการที่เปลี่ยนกระแสไฟฟ้าเป็นความร้อน จึงส่งผลให้พื้นผิวอบ詹บริเวณที่เกิดการสปราร์ค มีความร้อนเกิดสูงขึ้นประมาณ 8,000 – 12,000 องศาเซลเซียส จนบางส่วนของชั้นงานถูกหลอมละลาย ขณะที่สาร ไฮอิเล็กตริกบริเวณที่เกิดการสปราร์คจะถลวยเป็นก้าช้อนเนื่องมาจากความร้อนที่เกิดขึ้น และมีความดันที่สูงขึ้นบางส่วน โดยความดันที่เกิดขึ้นนี้จะทำให้ส่วนที่หลอมละลายชั้นงานหลุดกระเด็นออกไปถลวยเป็นเศษผงชิ้นเล็กๆ ดังรูปที่ 2.29 (ง) จากนั้นรอสาร ไฮอิเล็กตริกกลับคืนสู่ความเป็นผนวนโดยไม่มีการใส่แรงดันไฟฟ้า



รูปที่ 2.29 ลักษณะการแยกอนุภาควัสดุด้วยอีดีเอ็ม [29]

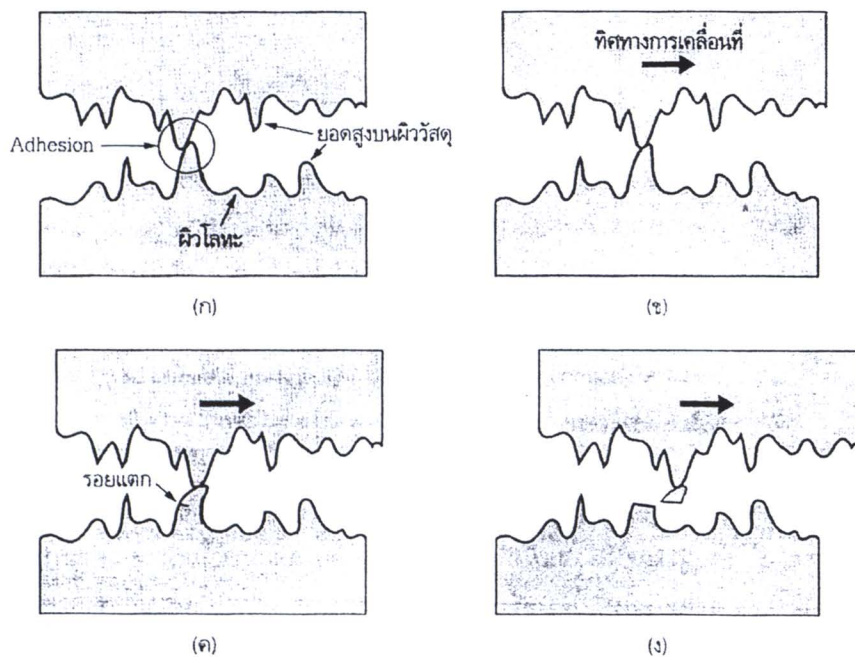
จากหลักการทำงานของเครื่องอีดีเอ็มมีงานวิจัยหลายฉบับนำมาใช้ศึกษาถึงปัจจัยที่มีผลต่อการกัดชิ้นงาน โดยข้อมูลที่นำมายังเคราะห์นั้นมีอยู่ 4 ประเภท [28] คือ อัตราการกำจัดเนื้อวัสดุ (Material Removal Rate, MRR) การสึกหรอของอิเล็กโทรด (Electrode Wear, EW) ความหยาบผิว (Surface Roughness, SR) และคุณภาพของพื้นผิว (Quality Surface) โดยทั่วไปอัตราการกำจัดเนื้อวัสดุจะไม่ได้ขึ้นอยู่กับวัสดุของชิ้นงานและคุณภาพของอิเล็กโทรดเพียงอย่างเดียว แต่จะขึ้นอยู่กับพารามิเตอร์ที่ใช้และสมบัติของสาร ไดอิเลคทริก ขณะที่ความหยาบผิวนั้นจะขึ้นอยู่กับพารามิเตอร์ที่ใช้และที่เครื่องทำงาน ประเภทของชิ้นงาน และคุณภาพของวัสดุที่เป็นอิเล็กโทรด [29, 30, 31] เช่น ถ้าปริมาณของกระแสไฟฟ้าที่สูงและพัลส์เวลา (Pulse time) ที่ใช้มาก อัตราการกำจัดเนื้อวัสดุก็จะสูงขึ้น ความหยาบของชิ้นงานก็จะมีค่าสูงขึ้น [32] จากการศึกษางานวิจัยที่ผ่านมาของ Wang และ Saka [33] ทำการศึกษาพฤติกรรมการสึกหรอจากการสปาร์คของคอมโพสิตที่มีเงินเป็นส่วนผสมหลักพบว่า Ag-W, Ag-CdO และ (Ag-15CdO)-W สึกกร่อนต่ำกว่าเงินบริสุทธิ์เพียงอย่างเดียว และเมื่อปริมาณของหั้งสเตน แอดเมียโนออกไซด์มีปริมาณเพิ่มขึ้น จะมีการสึกหรอที่ต่ำลง

2.10 การสึกหรอของวัสดุ

การสึกหรอ (Wear) เป็นการหลุดของผิววัสดุจากการถูกแรงกระทำขึ้นที่ผิวเคลื่อนที่สัมผัสกันอีกผิวหนึ่ง การสึกหรอเกิดได้หลายรูปแบบ เช่น การสึกหรอที่เกิดจากการไถกระหว่างผิว (Sliding Wear) การขัดถูของอนุภาคกับผิว (Abrasion) เป็นต้น ลักษณะหรือกลไกการเกิดการสึกหรอของวัสดุแต่ละชนิดก็แตกต่างกันไป จะเกิดช้าหรือเร็วขึ้นอยู่กับองค์ประกอบบนพื้นผิวย่าง เช่น โครงสร้างจุลภาคของผิว ชนิดของวัสดุ ลักษณะการเคลื่อนที่ของวัสดุ ปฏิกิริยาเคมี และอุณหภูมิ เป็นต้น ซึ่งโดยทั่วไป การสึกหรอที่พบมากมีความซับซ้อนหลายกลไกเกิดพร้อมๆ กัน บางทีไม่สามารถระบุประเภทการสึกหรอที่เกิดได้แน่นอนว่าเป็นชนิดใด

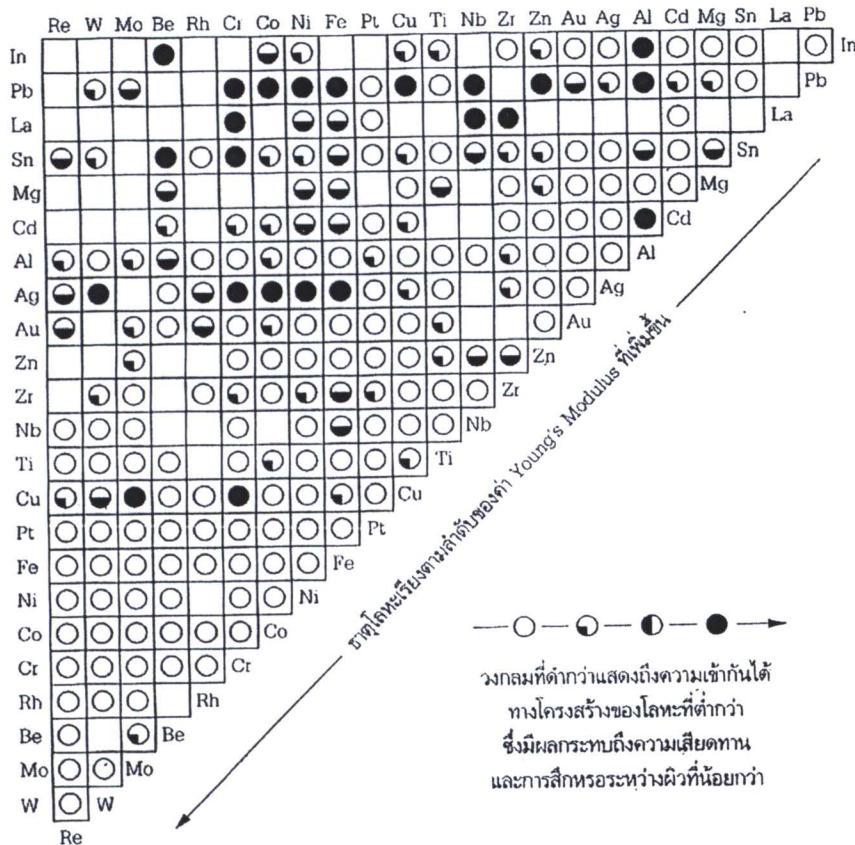
2.10.1 การสึกหรอของเนื้อโลหะบนเนื้อโลหะ

เมื่อผิวหน้าของโลหะ 2 ผิวหน้าเคลื่อนที่สัมผัสกันภายใต้แรงกด พื้นที่ของโลหะสามารถเกิดขึ้นได้ ณ บริเวณจุดสัมผัส ซึ่งพื้นที่ที่เกิดขึ้นในบริเวณยอดสูง (Asperity) ของวัสดุมาแตะยอดกันนี้เรียกว่า การขัดเคาะแบบแนวติด (Adhesion) ขณะที่ผิวหน้า 2 ผิวเคลื่อนที่สัมผัสระหว่างกัน การขัดเคาะแบบแนวติดจะสามารถขับและหลุดออกจากกันได้ ขณะเดียวกันยอดสูงเหล่านี้ก็สามารถเกิดการแตกหักได้ เช่นกัน ถ้าพื้นที่โลหะความแข็งแรงของโลหะนี้มีค่าสูงกว่าความแข็งแรงของยอดสูงของผิวหน้าหนึ่ง ยอดสูงนั้นจะแตกและผิวหน้านั้นจะสูญเสียนื้อวัสดุไปให้กับผิวสัมผัส ดังรูปที่ 2.30



รูปที่ 2.30 ลักษณะการเกิดการสึกหรอของเนื้อโลหะบนเนื้อโลหะ [34]

ขณะเกิดการสึกหรอนั้นจะเกิดพันธะแบบแนวติดและการแตกหักของวัสดุพร้อมๆกันอย่างต่อเนื่อง เป็นเหตุให้เกิดการสูญเสียเนื้อวัสดุจากผิวนี้ไปยังอีกผิวนี้ ซึ่งมักจะเกิดขึ้นทั้ง 2 ทาง ถ้าวัสดุทั้ง 2 ชนิดมีโครงสร้างลักษณะคล้ายกัน หรือมีความเข้ากันได้ทางโครงสร้าง (Structure Compatibility) ที่ดี เนื่องจากความเสียดทานระหว่างผิuwัสดุจะขึ้นอยู่กับความเข้ากันได้นี้ ดังรูปที่ 2.31



รูปที่ 2.31 ผลกระทบจากลักษณะ โครงสร้างของคุณผู้สอนผสานการศึกษา [34]

ถ้าหากว่าวัสดุ A มีความแข็งแรงทางกลมากกว่าวัสดุ B วัสดุ B จะสูญเสียเนื้อให้กับวัสดุ A ในขณะที่วัสดุที่แตกออก ผิวน้ำใหม่ที่เปิดขึ้นบริเวณรอยแตกจะเกิดการอกร่องรอยซึ่งเป็นปัจจัยที่เกิดขึ้นจะถูกเร่งโดยความร้อนที่เกิดจากการเสียดสีทำให้เกิดออกไซด์บนผิววัสดุ เมื่อการสึกหรอดำเนินต่อไปเช่นของเนื้อวัสดุที่แตกจะทับถมบนผิวน้ำ สร้างเป็นชั้นชั้นมา บางครั้งชั้นของเศษทับถมก็จะหลุดล่อนออกมาหันนี้เนื่องจากมีการปะปนของออกไซด์ของโลหะอยู่ ทำให้เกิดการสูญเสียเนื้อวัสดุจากหัวทั้ง 2 ผิวสัมผัส ดังนั้น พฤติกรรมการเกิดการสึกหรอจะขึ้นอยู่กับลักษณะของวัสดุ โลหะหัวทั้ง 2 ที่เข้าสัมผัสกัน โดยการยึดเกาะแบบแนบติดจะเกิดขึ้นได้ง่ายเมื่อผิวสัมผัสหัวทั้งคู่มีความสะอาด มีความเจ้ากันได้ทางเคมีและทางโครงสร้างของวัสดุ

2.10.2 การสีกหรอของวัสดุประเภทคอมโพสิตเสริมแรงด้วยอนุภาค

การสีกหรอของวัสดุประเภทคอมโพสิตเสริมแรงด้วยอนุภาค จะขึ้นอยู่กับระยะห่างระหว่างอนุภาค และ ขนาดของอนุภาคเสริมแรง ที่สัดส่วนโดยปริมาตรของวัสดุเสริมแรงเท่ากันพบว่าอัตราการสีกกร่อนของวัสดุเสริมแรงที่มีขนาดอนุภาคใหญ่ และระยะห่างกันของอนุภาคมาก จะเกิดการสีกกร่อนสูงกว่าวัสดุคอมโพสิตที่ขนาดของอนุภาคเสริมแรงขนาดเล็กและระยะห่างกันเพียงเล็กน้อย ทั้งนี้เนื่องจากการสีกหรจะเกิดขึ้นทั่วทั้งบริเวณผิวน้ำสัมผัสที่อัตราเท่ากัน เมื่อเป็นวัสดุเดียวกันที่มีค่าความแข็งรวมที่ผิวน้ำของวัสดุคอมโพสิต จากงานวิจัยของ Akhtar และคณะ [10] ได้ศึกษาเกี่ยวกับพฤติกรรมการสีกหรอของ Cu-TiC คิวบิกซ์ Sphere on Flat พบร่วมกับเมื่อปริมาณของ TiC มีปริมาณสูงขึ้น การสีกหรอของ Cu-TiC มีปริมาณลดลง